

# Balastos Electrónicos: Inversores Resonantes

---

**José Marcos Alonso Álvarez**  
**Mayo 1999**

# Objetivos

- **Conocer la estructura básica y parámetros que caracterizan a un inversor resonante.**
- **Conocer las configuraciones básicas de inversores resonantes. Métodos de control y modos de funcionamiento.**
- **Metodología de análisis de inversores resonantes operando en régimen permanente.**
- **Características de comportamiento de algunos inversores típicos.**
- **Capacidad de selección de topologías**
- **Conocer la metodología básica de análisis dinámico de inversores resonantes.**
- **Ejemplos de análisis dinámico**

# Índice

- **Introducción**
- **Topologías y Control de Inversores Resonantes**
- **Análisis Estático de Inversores Resonantes**
- **Introducción al Análisis Dinámico de Inversores Resonantes. Ejemplos**
- **Bibliografía**

# Aplicaciones



- **Alimentación de Lámparas** [25-38]
- **Calentamiento por Inducción** [14-16]
- **Soldadura por Arco Eléctrico** [9, 10]
- **Equipos Ultrasónicos** [11-13]
- **Procesos Electrostáticos** [6-8]
- **Reguladores CC-CC Conmutados** [17-24]

# Parámetros Característicos

Onda Alterna de Salida (Tensión o Corriente):

Distorsión del armónico de orden n:

$$D_n = \frac{V_n}{V_1}$$

Distorsión Armónica Total:

$$THD(\%) = \frac{\sqrt{V_2^2 + V_3^2 + \dots + V_n^2 + \dots}}{V_1} \cdot 100$$

Factor de Distorsión del Armónico de orden n:

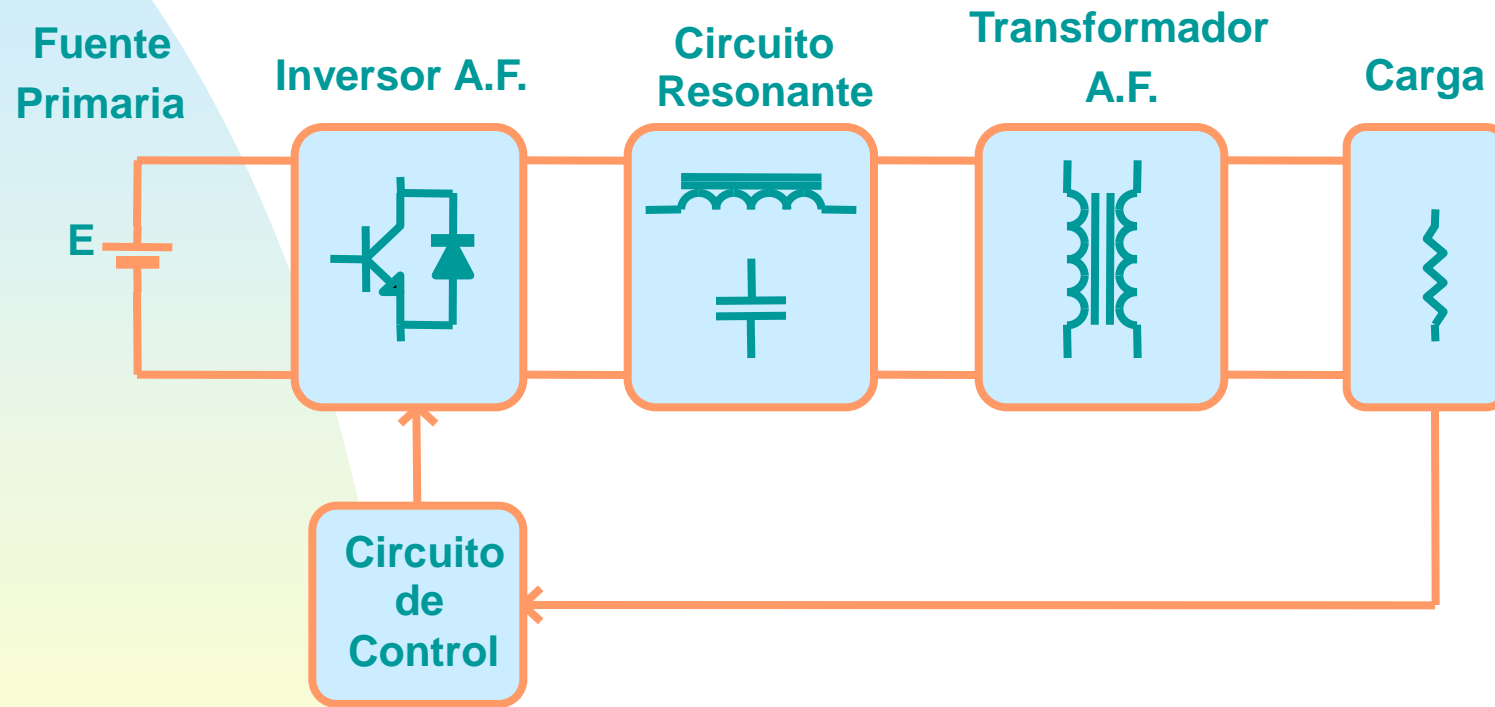
$$DF_n = \frac{V_n}{V_1 n}$$

Factor de Distorsión Total:

$$TDF(\%) = \frac{\sqrt{\sum_{2,3,\dots} \left( \frac{V_n}{n} \right)^2}}{V_1} \cdot 100$$

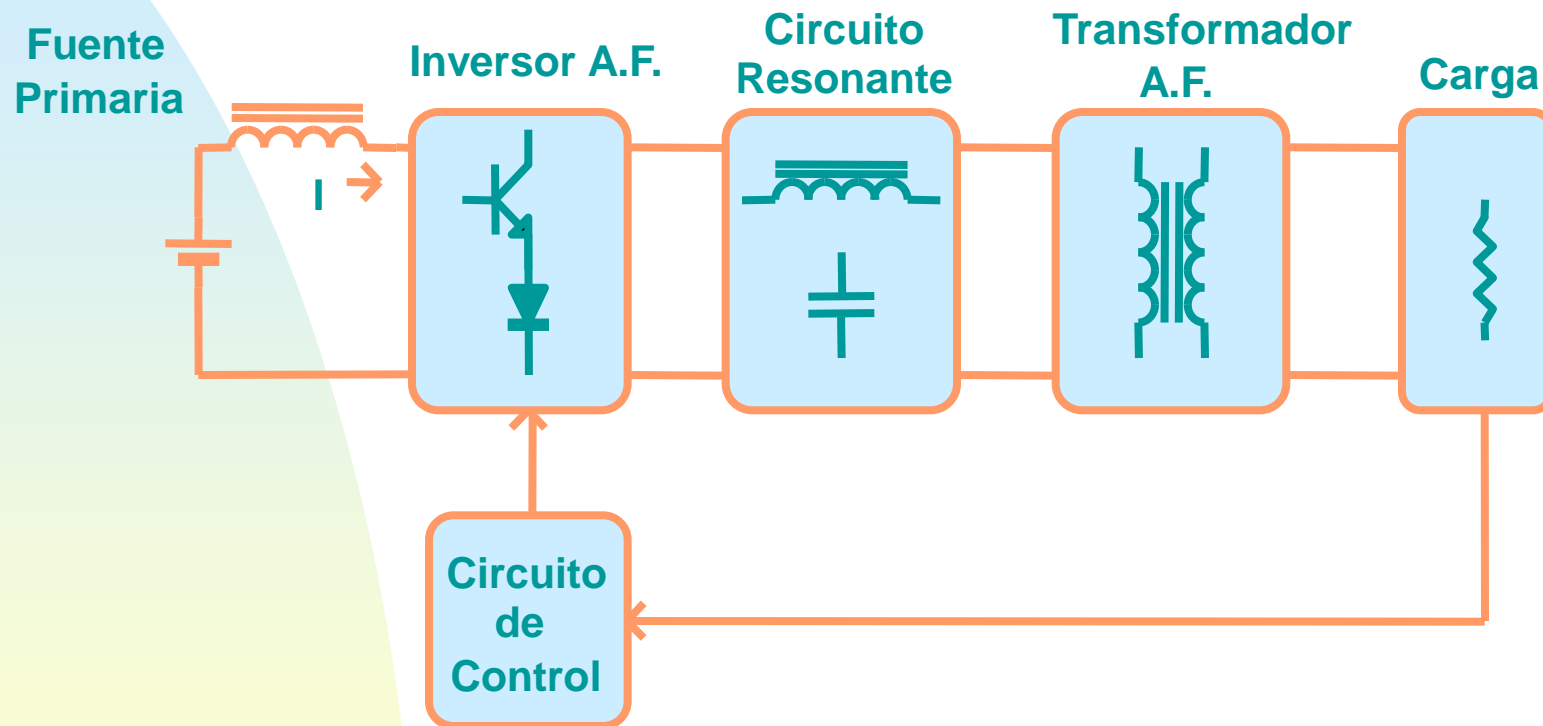
# Diagrama de Bloques

## Inversor Alimentado en Tensión



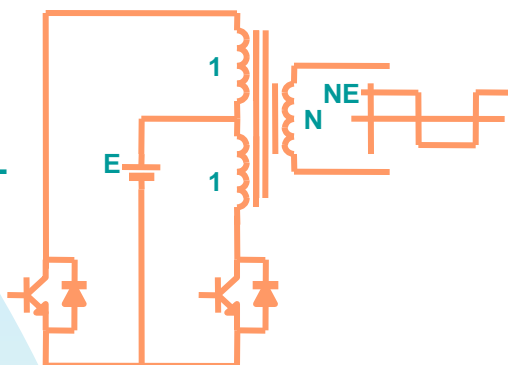
# Diagrama de Bloques

## Inversor Alimentado en Corriente

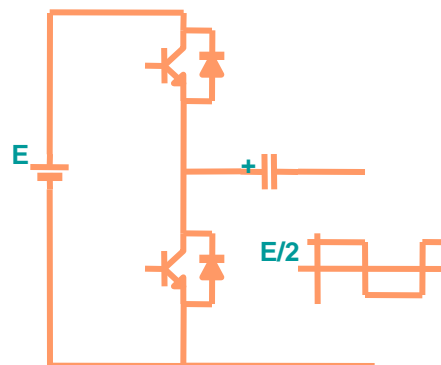


# Topologías de Inversores

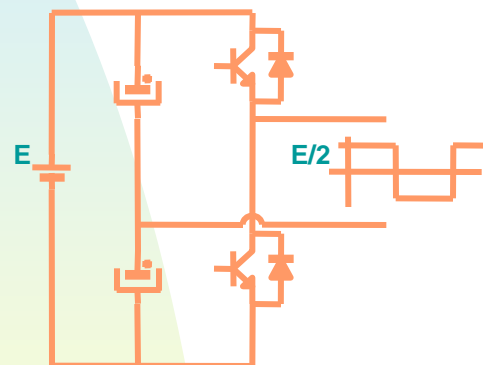
PUSH-PULL



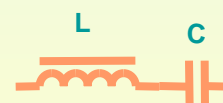
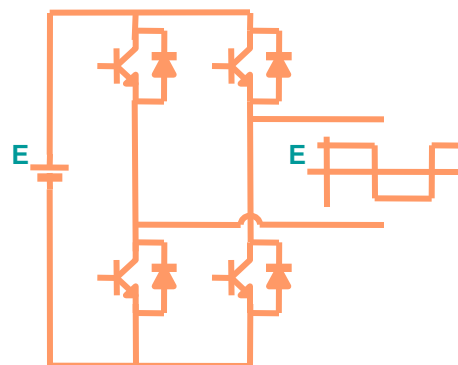
ASIMÉTRICO



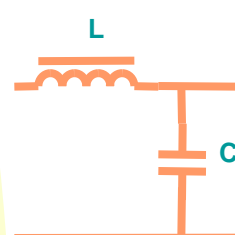
MEDIO PUENTE



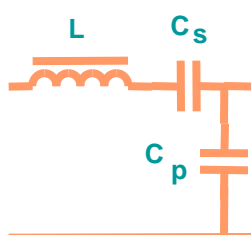
PUENTE COMPLETO



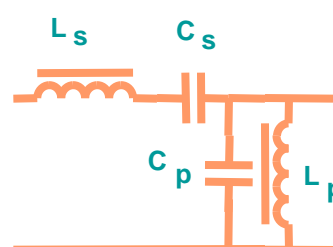
LC Serie



LC Paralelo

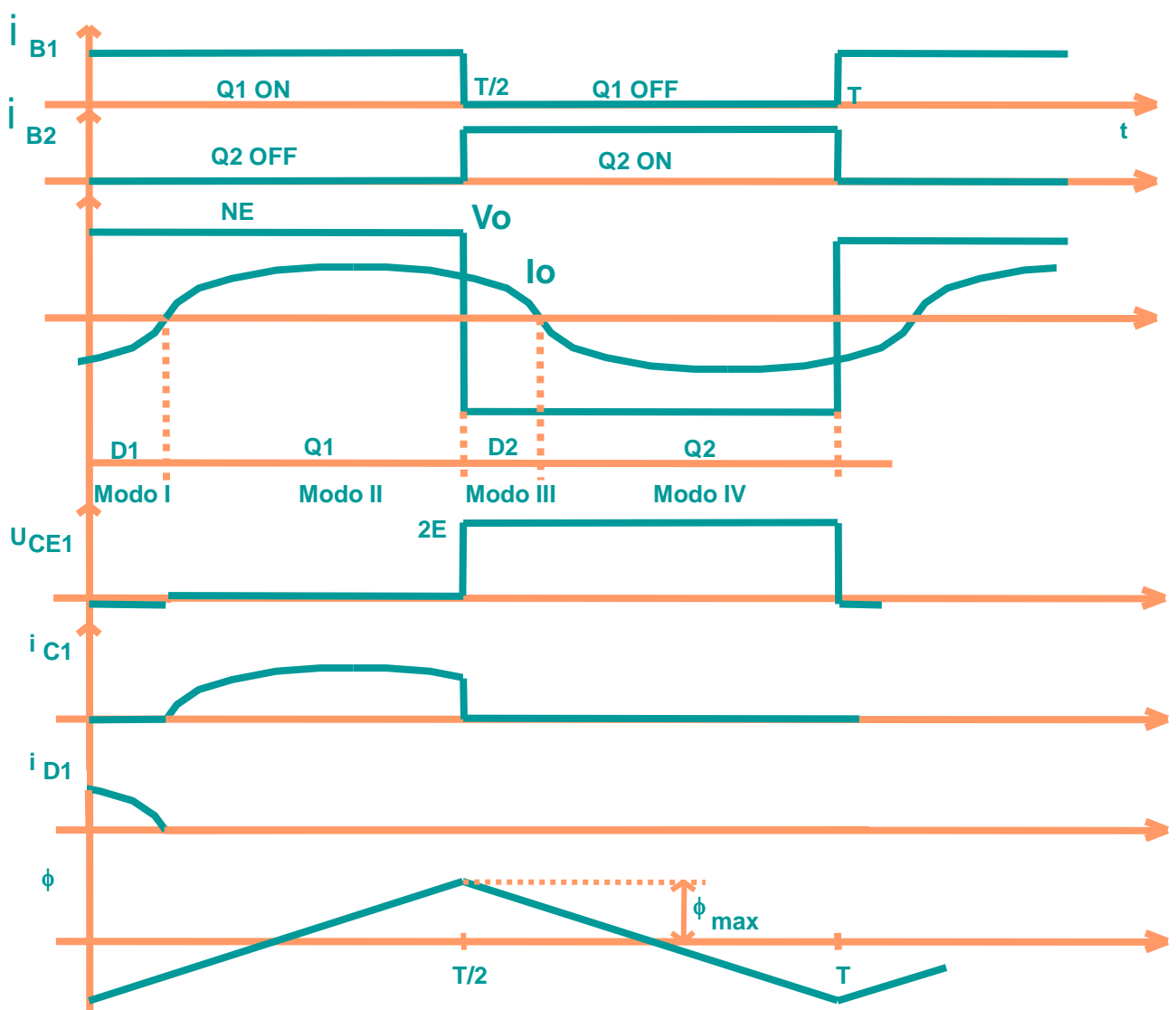
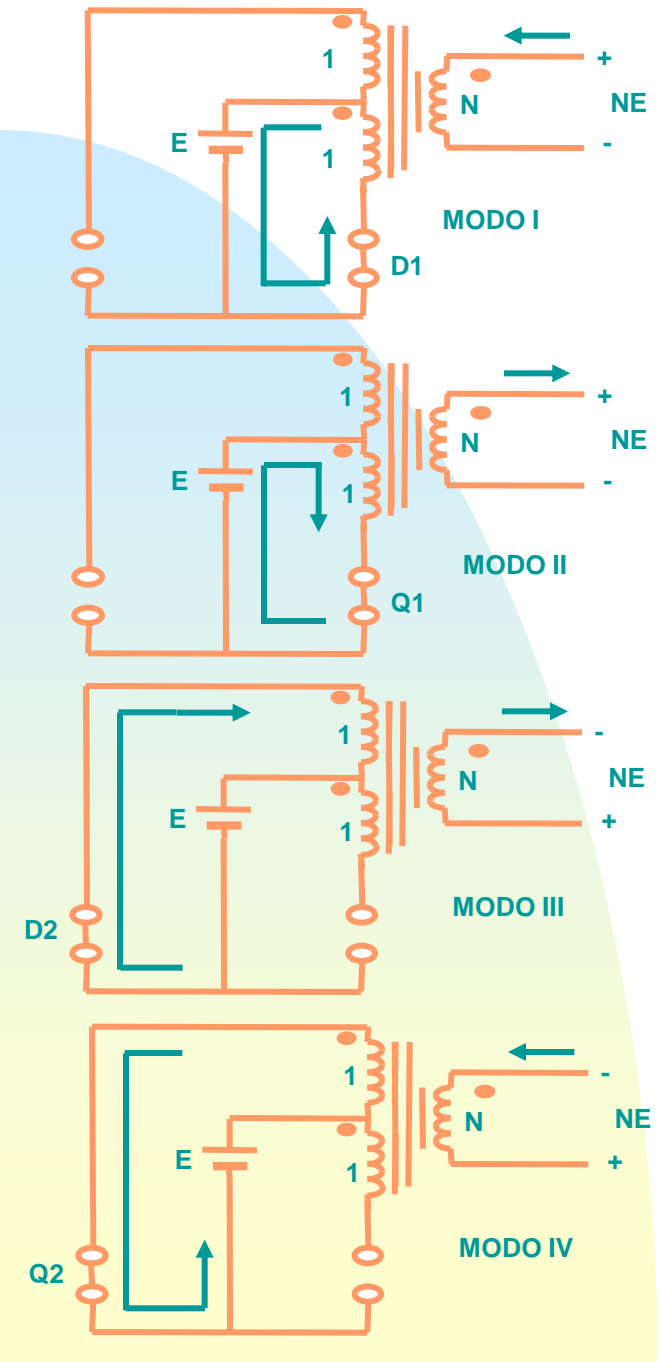


LCC Serie-Paralelo

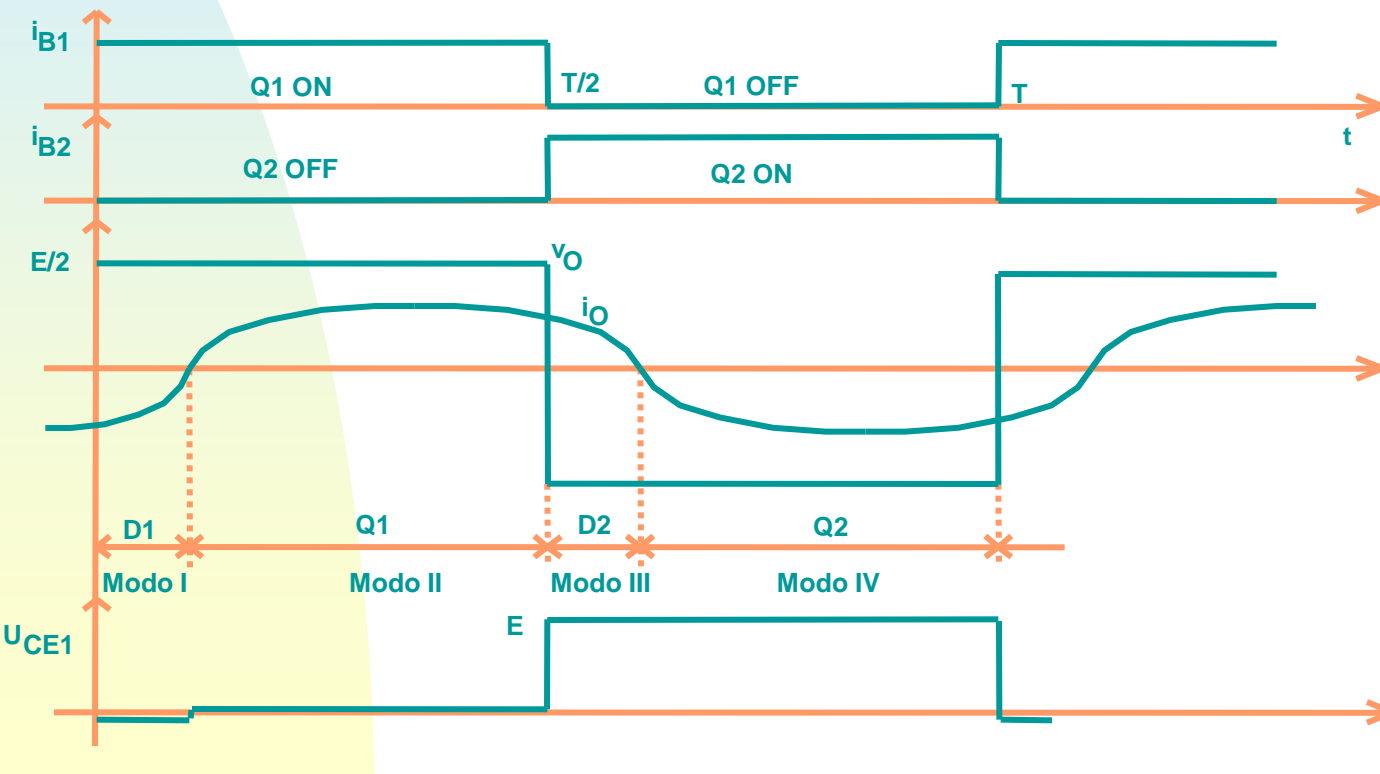
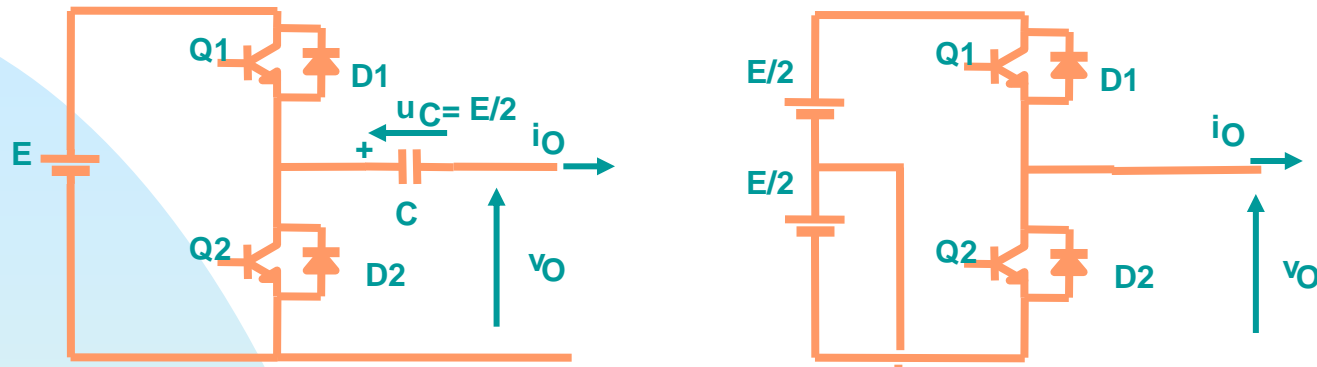


LCLC Serie-Paralelo

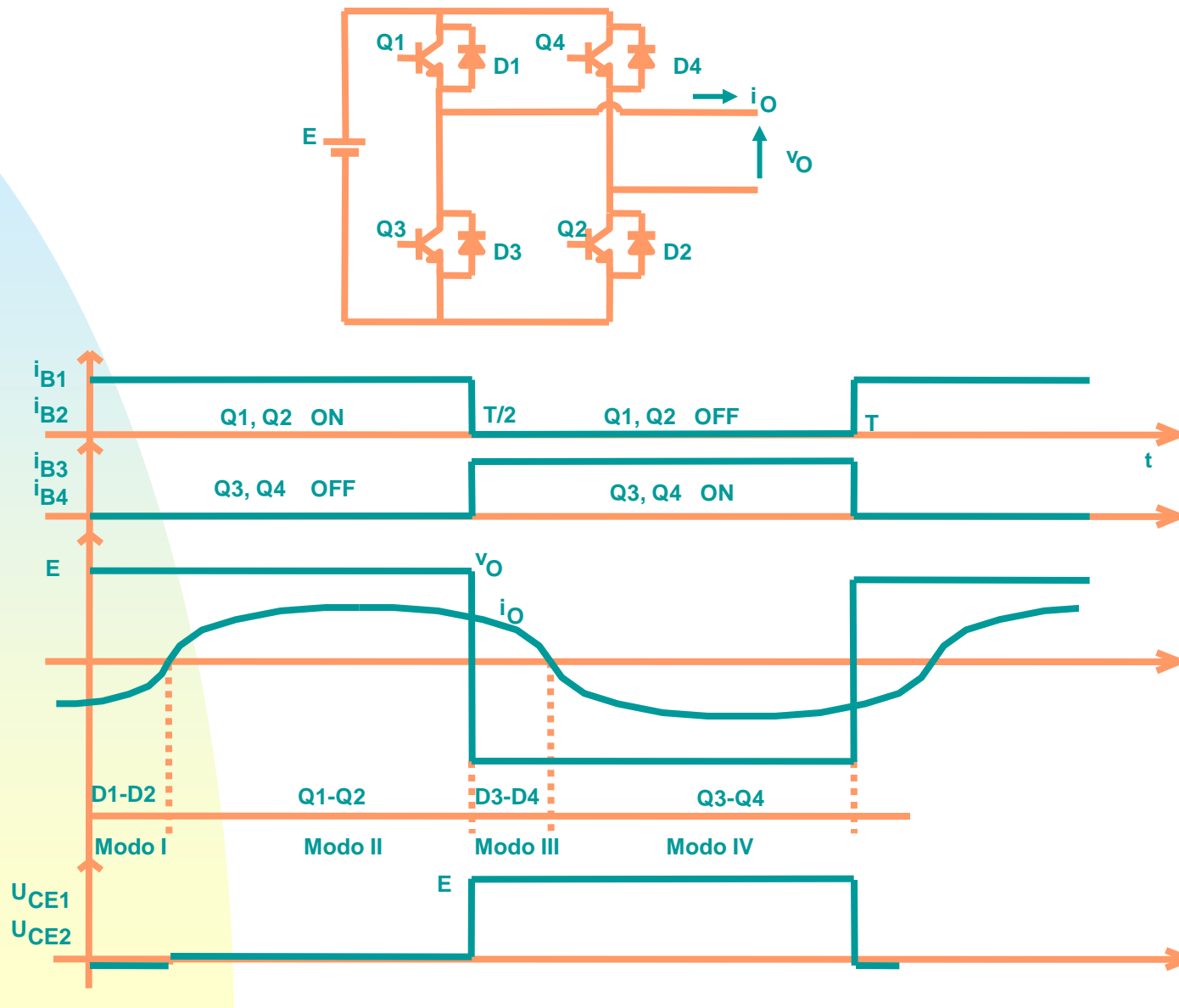
# Inversor Push-Pull



# Asimétrico y Medio Puente



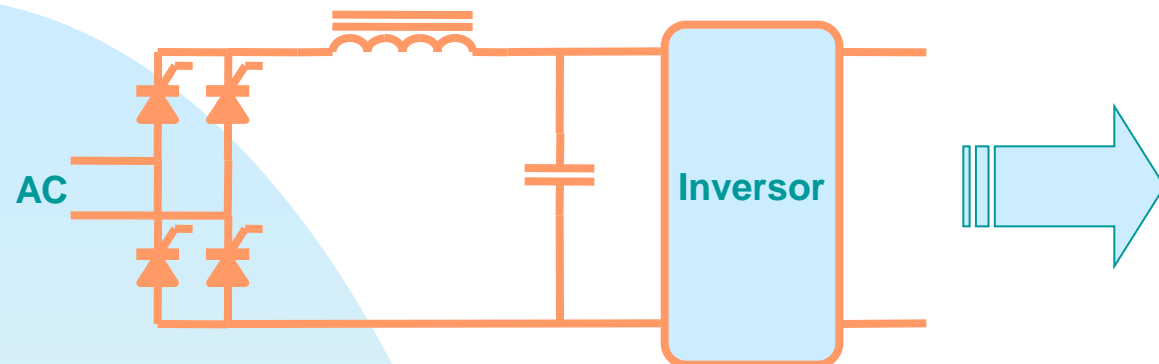
# Puente Completo



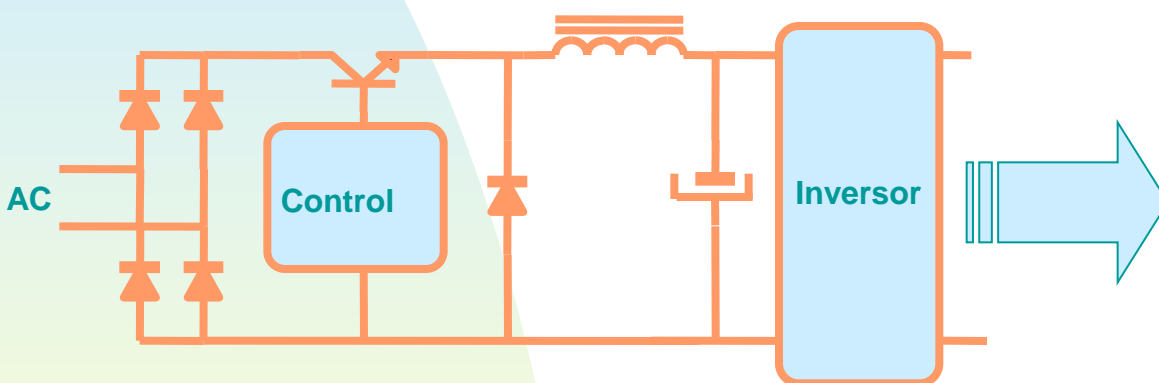
# Control de la Potencia de Salida

- **Control de la Tensión Continua de Entrada**
- **Control por Frecuencia de Conmutación**
- **Control por Deslizamiento de Fase**
- **Control por Modulación de Anchura de Pulso (PWM)**
- **Control por Modulación de Densidad de Pulsos (PDM)**

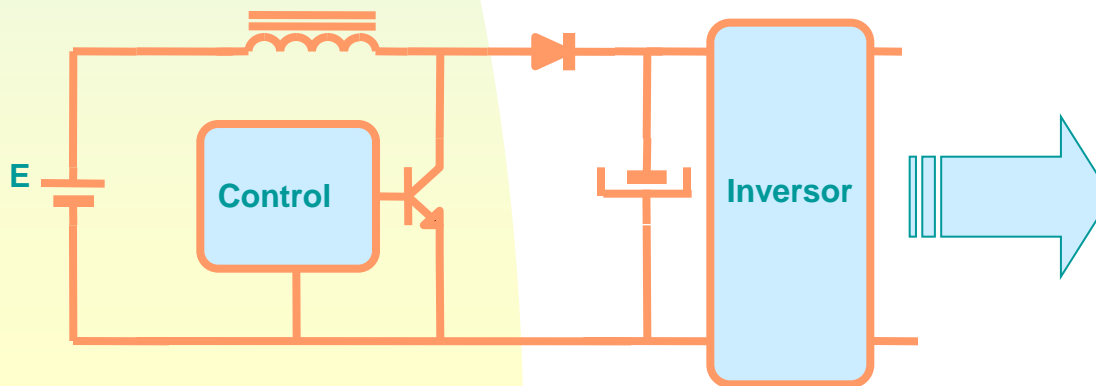
# Variación de la Tensión de Entrada



- Potencias Altas
- Baja respuesta Dinámica

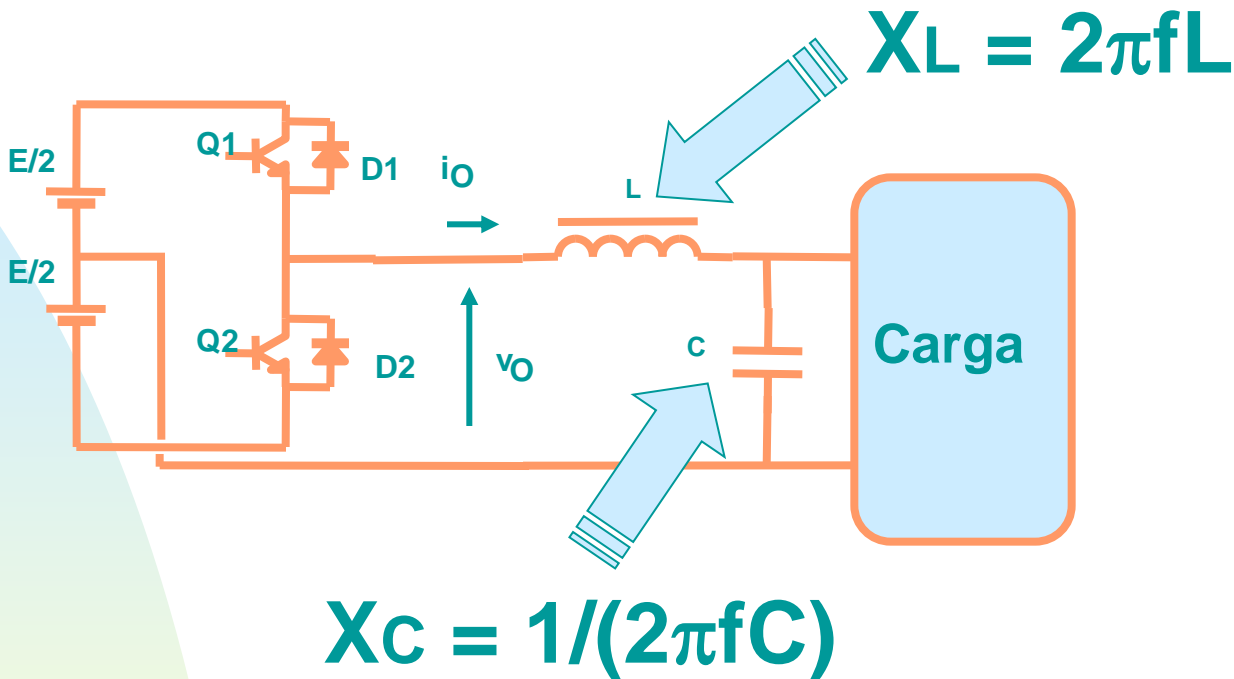


- Potencias Bajas-Medias
- Alta Respuesta Dinámica



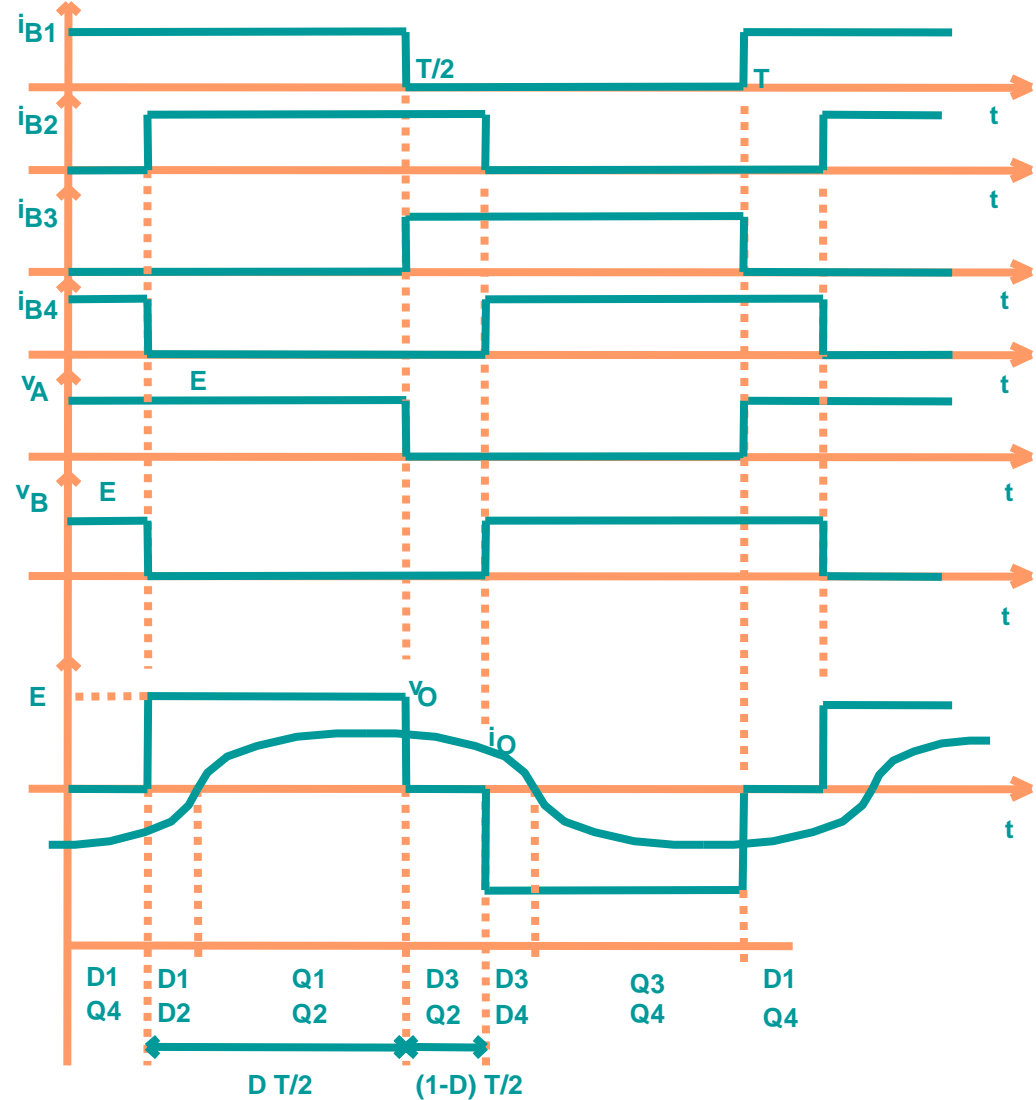
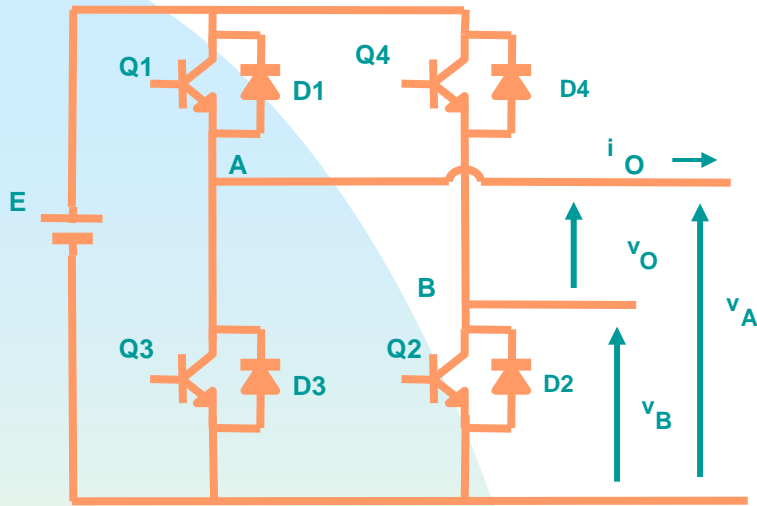
- Baja Tensión
- Alta respuesta Dinámica

# Frecuencia de Comutación



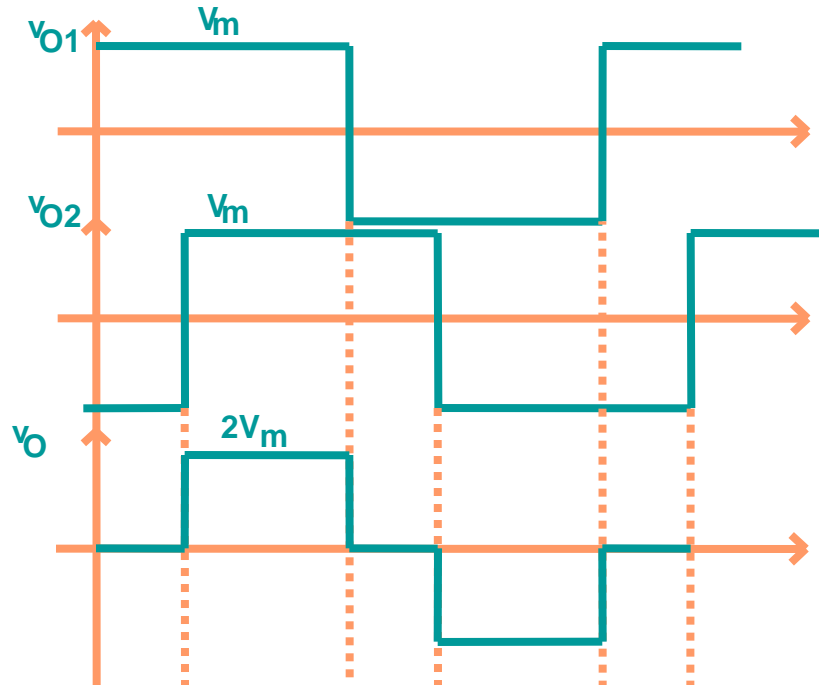
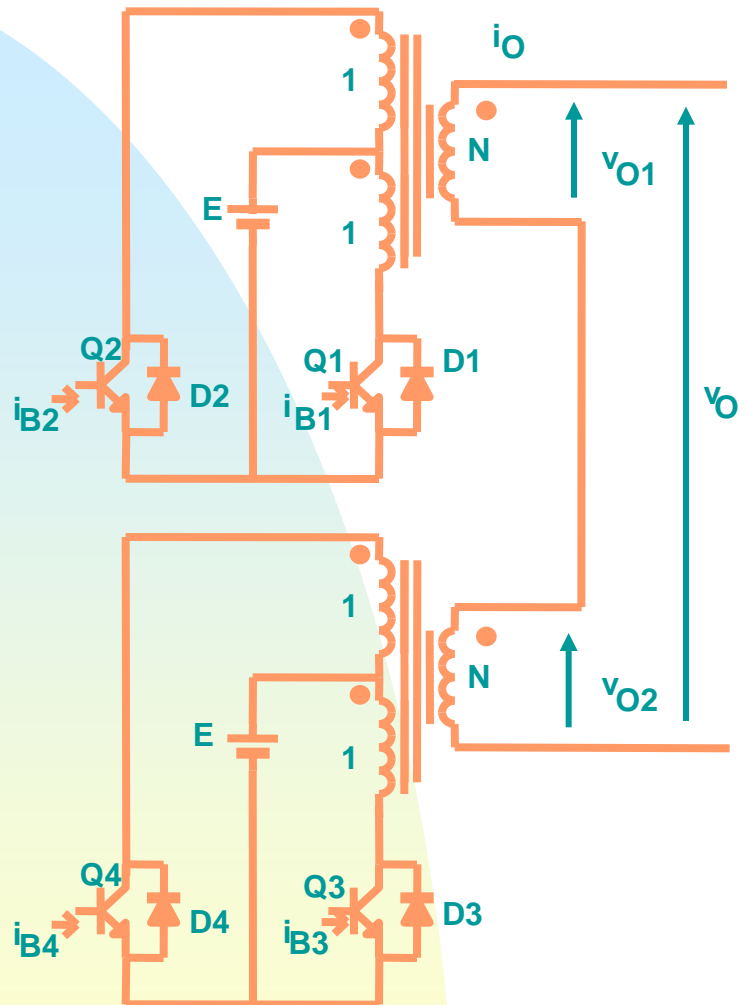
- La tensión y corriente en la carga dependen de la frecuencia de conmutación
- Fácil implementación
- Problemas de ruido y de optimización de magnéticos

# Deslizamiento de Fase

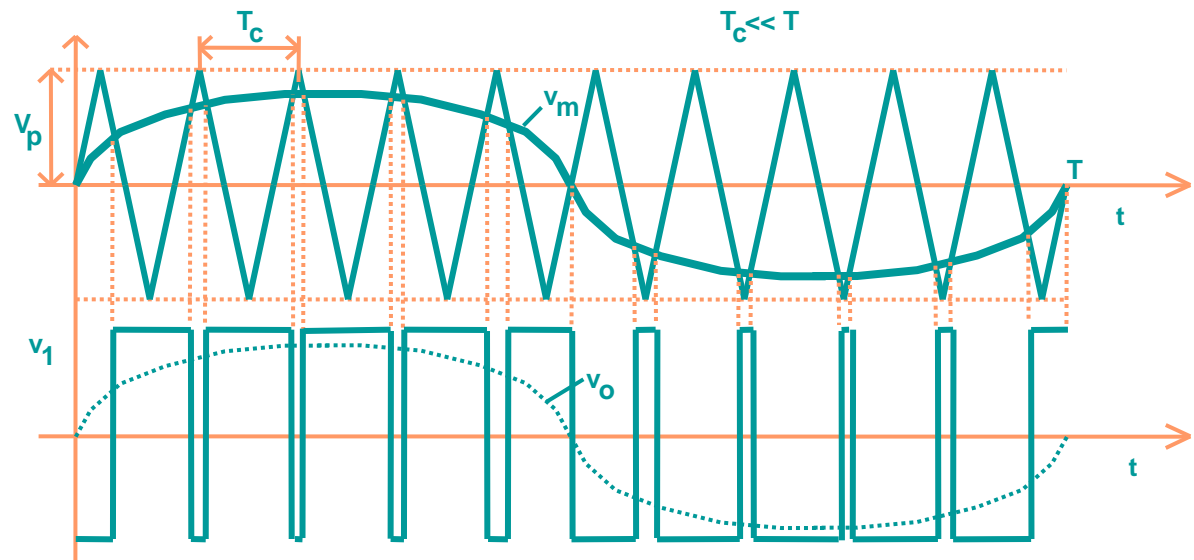
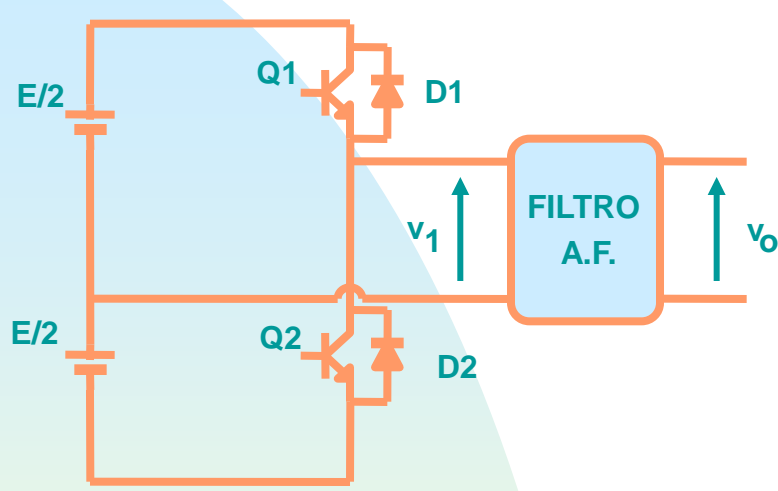


- Funcionamiento a frecuencia fija
- Baja distorsión de la onda de salida
- Distorsión mínima para  $D=0.73$

# Deslizamiento de Fase

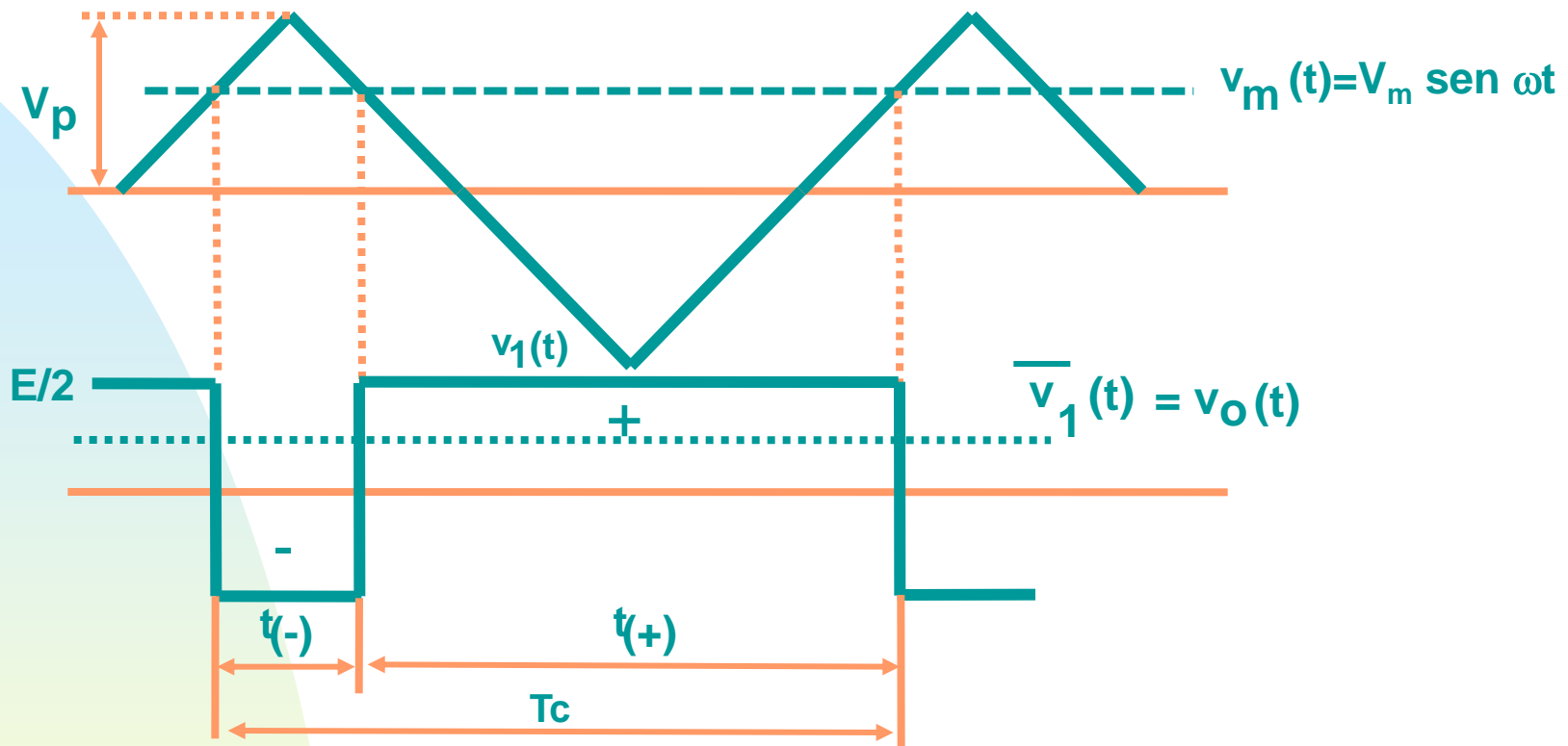


# Modulación de Anchura de Pulso



- Comparación de una onda modelo con otra triangular
- Posterior filtrado de los armónicos superiores
- El valor instantáneo medio de la onda de salida es proporcional a la onda modelo (amplificador conmutado)
- Habitualmente:  $T_c > 9 T$

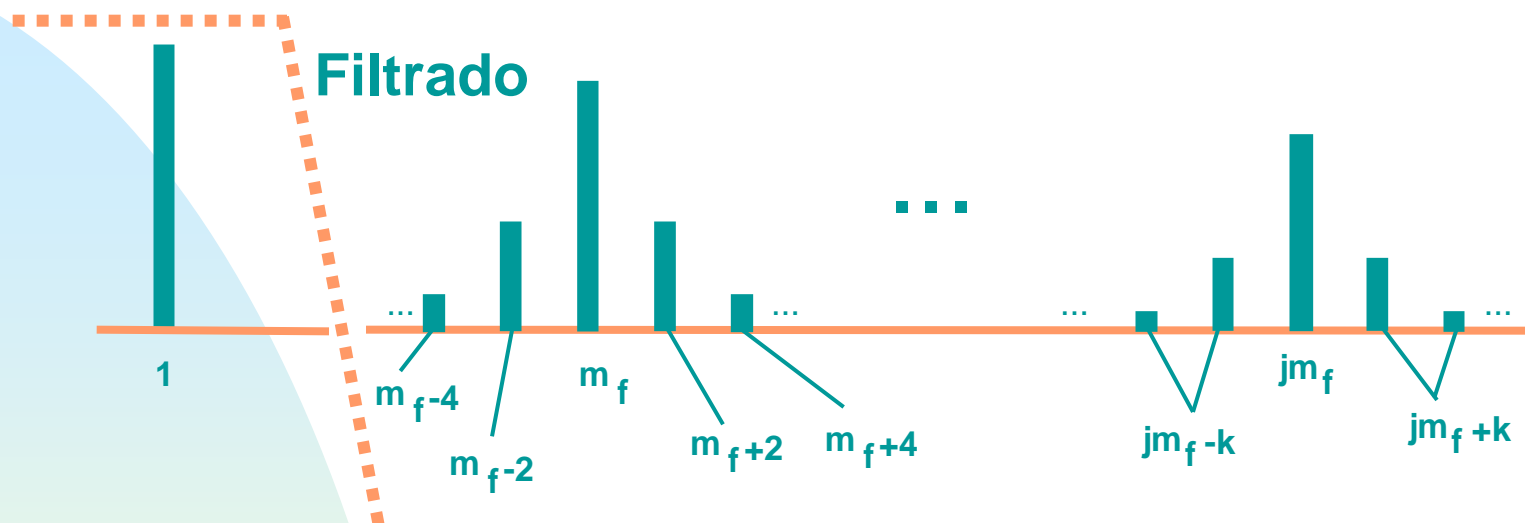
# Formas de Onda PWM



$$v_o(t) = \bar{v}_1(t) = \frac{E}{2} \frac{v_m(t)}{V_p} = \frac{E}{2} m_a \sin \omega t$$

- Factor de modulación de amplitud:  $m_a = V_m / V_p$

# Distribución de Armónicos



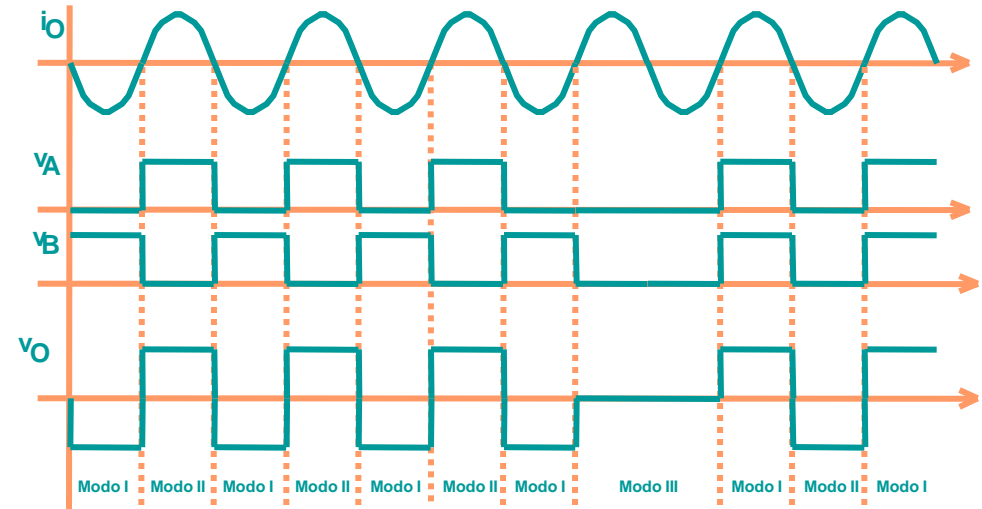
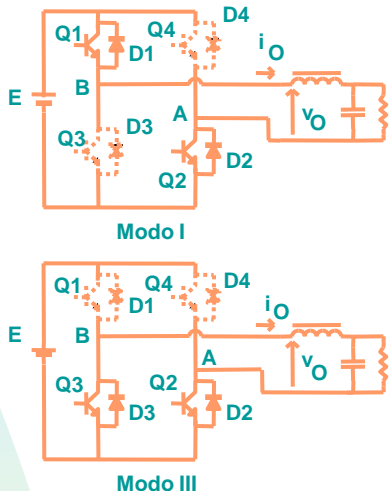
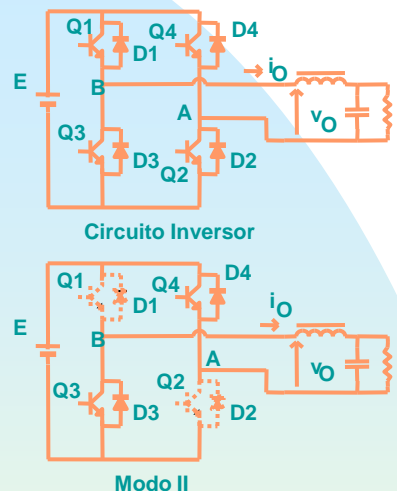
- Factor de modulación de frecuencia:  $m_f = f_c / f$
- Frecuencia de los armónicos superiores:

$$f_h = (jm_f \pm k)f$$

Para  $j$  par,  $k$  impar

Para  $j$  impar,  $k$  par

# Modulación de Densidad de Pulso [7]



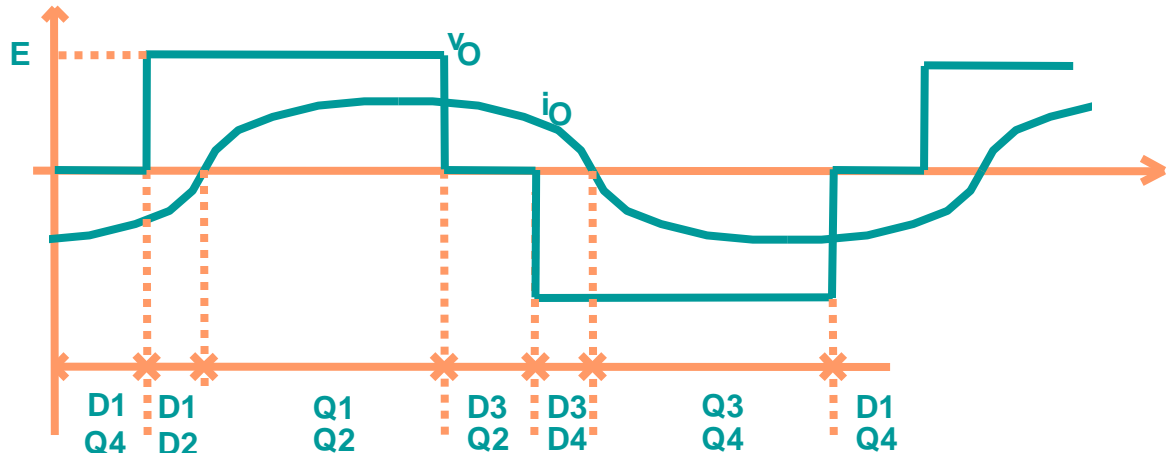
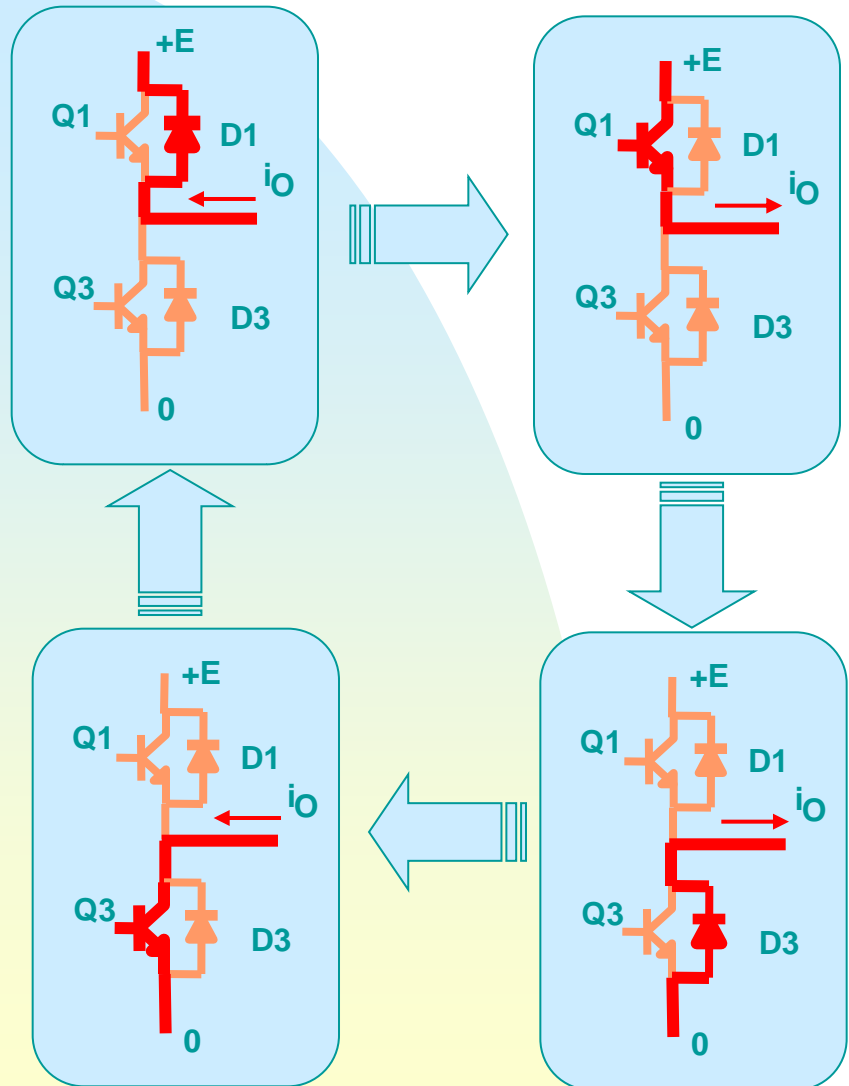
Densidad de pulsos: 3/4

- Amplio margen de control de la potencia de salida
- Gran precisión
- Aplicación en alimentación de procesos electrostáticos

# Modos de Funcionamiento

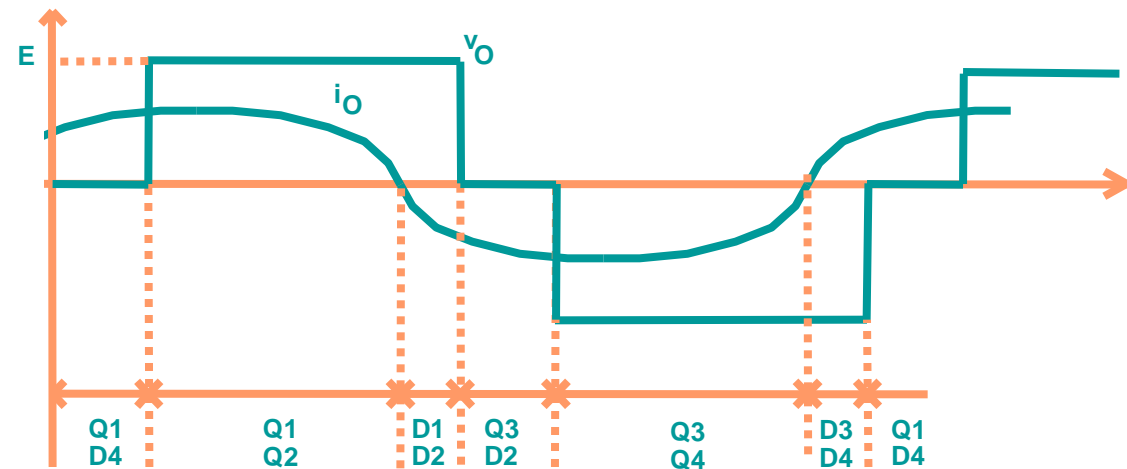
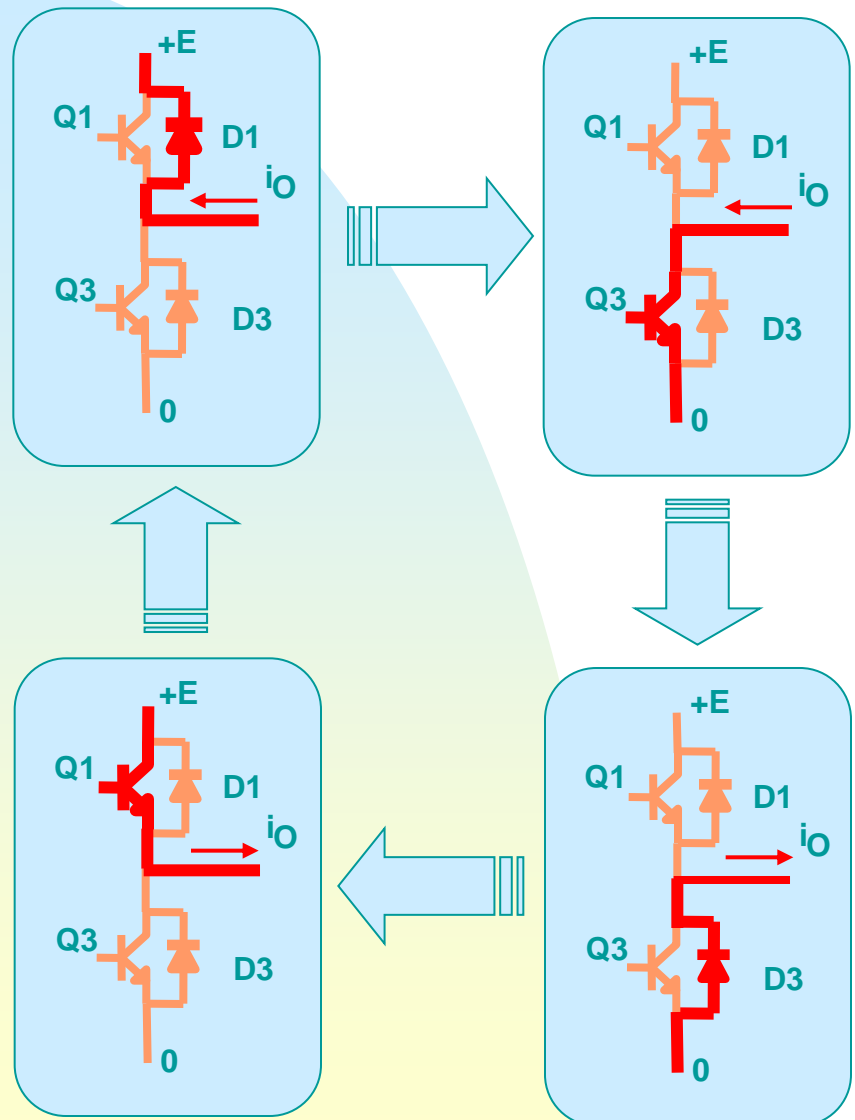
- En función del desfase entre tensión ( $V_o$ ) y corriente ( $I_o$ ) se tienen diferentes modos de funcionamiento:
  - ◆ Comutación a Tensión Cero (ZVS)
  - ◆ Comutación a Corriente Cero (ZCS)
  - ◆ Comutación Mixta (ZVS-ZCS). Sólo en inversores en puente completo con control de fase.
- El modo de funcionamiento afecta a:
  - ◆ Las commutaciones de los interruptores
  - ◆ La cantidad de energía reactiva manejada por el inversor

# Commutación a Tensión Cero (ZVS)



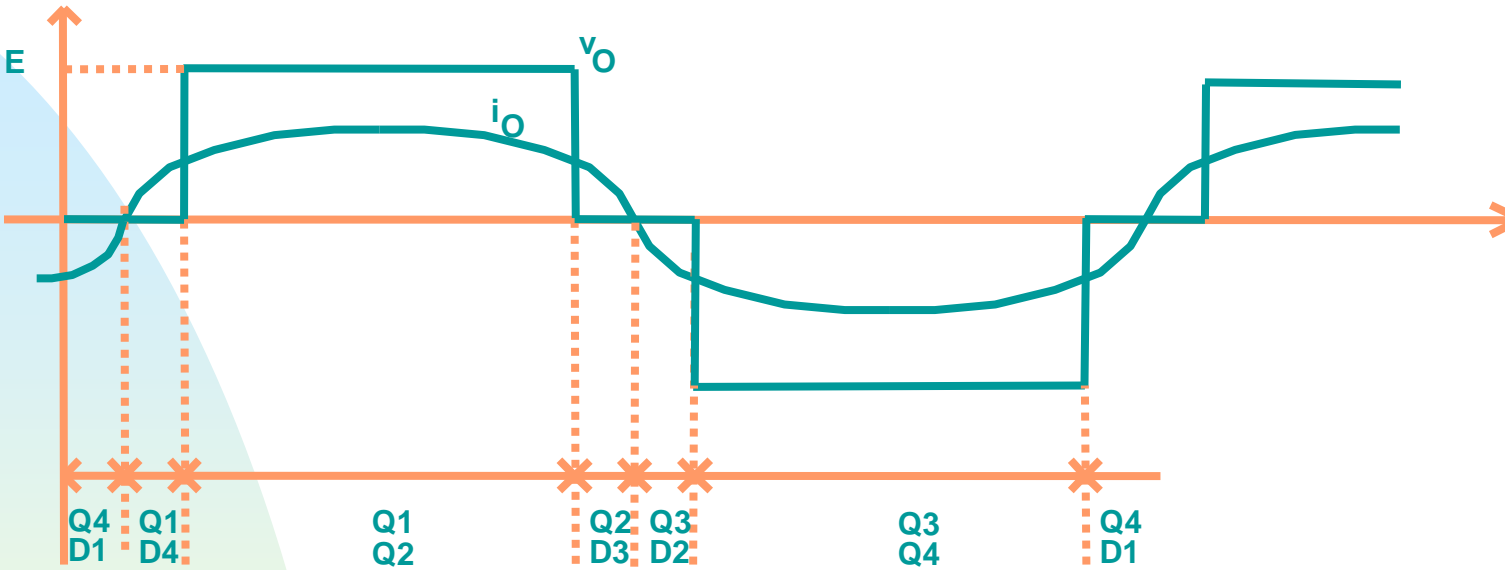
- Los transistores entran en conducción con tensión cero
- Los diodos salen de conducción de forma natural (inversión de la corriente)
- Sólo hay pérdidas en la salida de conducción de los transistores
- Util para MOSFET

# Commutación a Corriente Cero (ZCS)



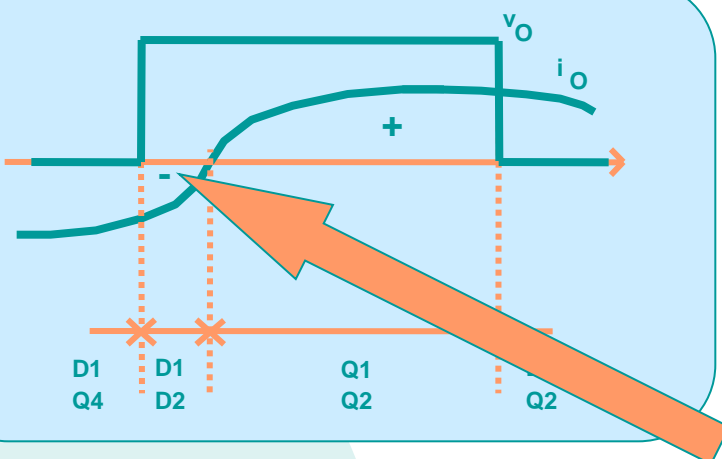
- Los diodos son polarizados inversamente. Cortocircuitos puntuales.
- Necesidad de diodos rápidos y tiempo muerto elevado
- La salida de conducción de los transistores se produce sin pérdidas (natural)
- Util para IGBTs.

# Commutación Mixta (ZVS-ZCS)



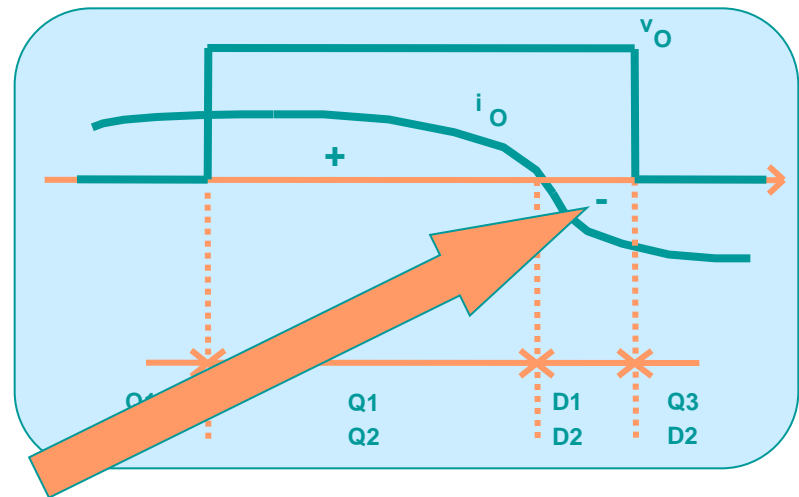
- Aparece en el puente completo operando con control de fase y ciclo de trabajo reducido.
- Una rama trabaja (Q1-Q3) con commutación a tensión cero y la otra (Q2-Q4) con commutación a corriente cero.

# Balance de Energía

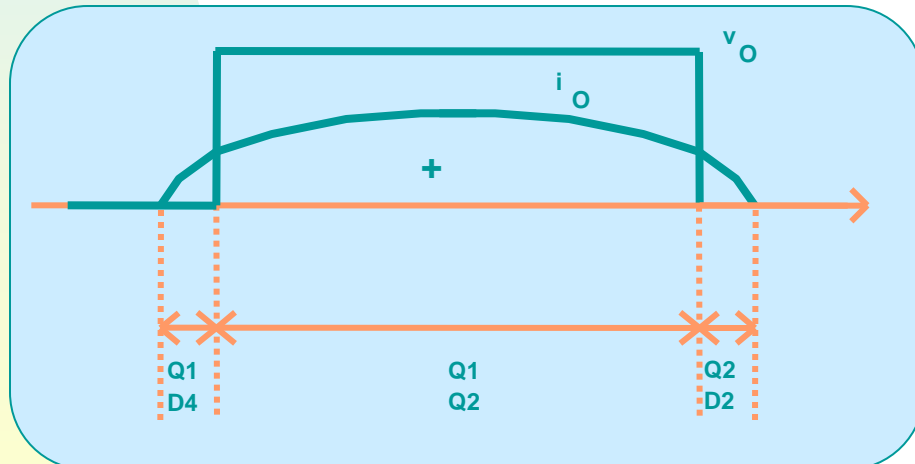


MODO ZVS

Energía  
Reactiva



MODO ZCS

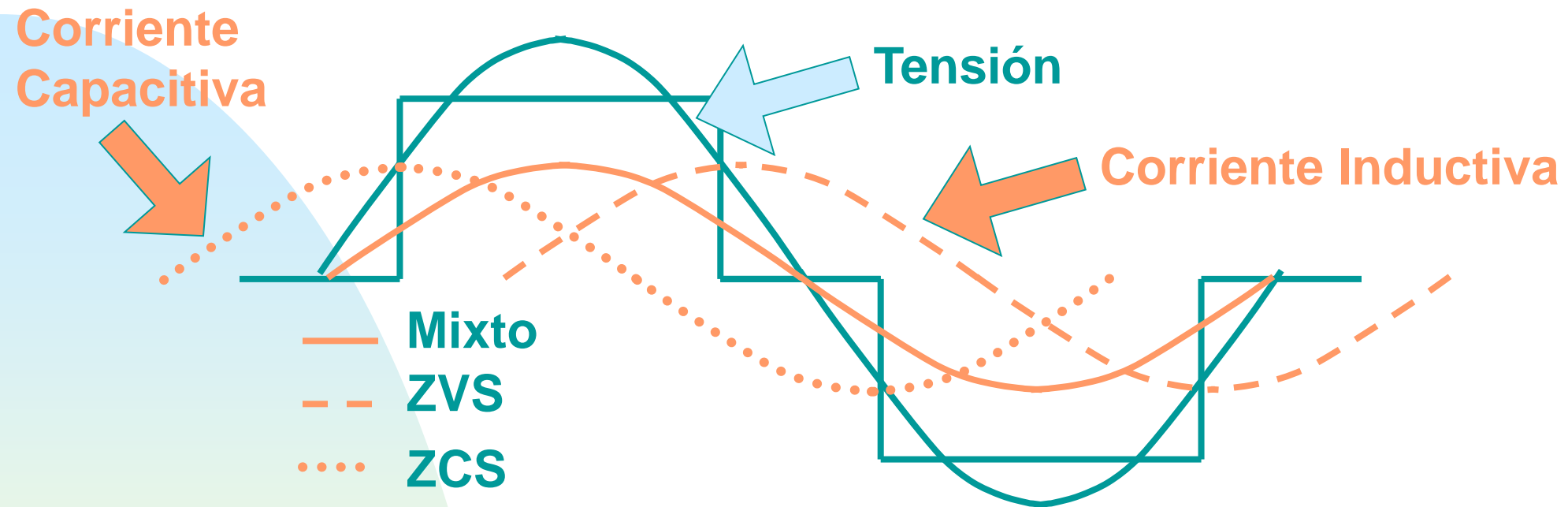


MODO MIXTO ZVS-ZCS



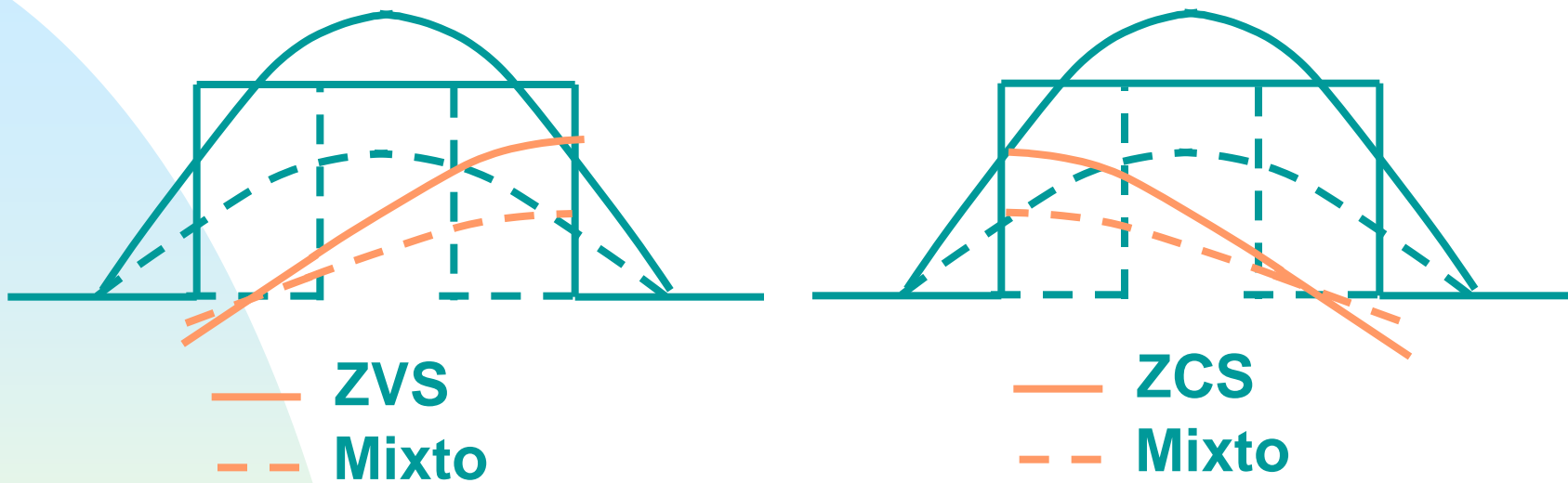
No maneja  
Energía  
Reactiva

# Efecto de la Frecuencia



- La frecuencia afecta al desfase entre la tensión y corriente resonante
- A frecuencias altas las componentes inductivas predominan sobre las capacitivas (modo ZVS)
- A frecuencias bajas predominan las componentes capacitivas frente a las inductivas (modo ZCS)
- A frecuencias intermedias se tiene el modo mixto

# Efecto del Ciclo de Trabajo



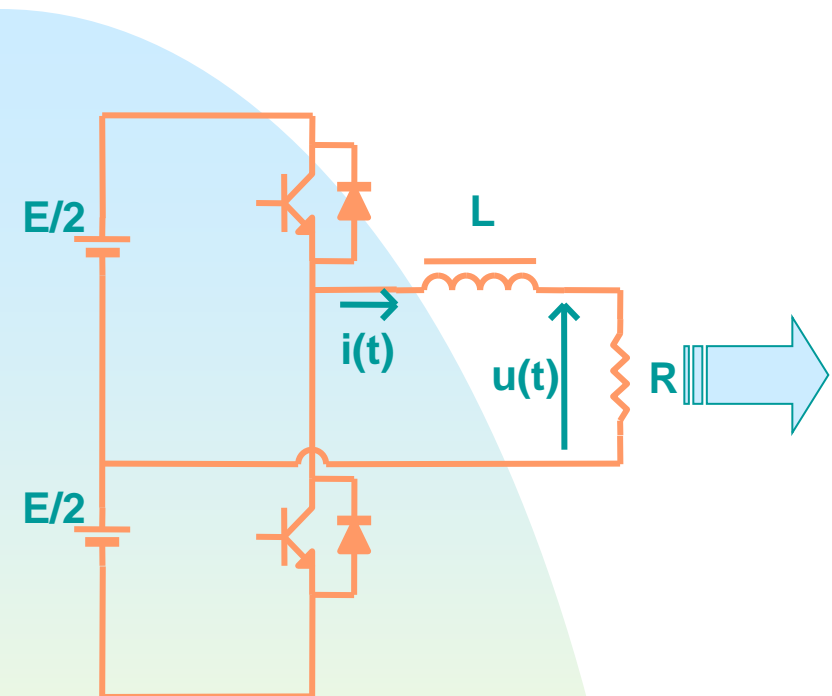
- Al variar el ciclo de trabajo la frecuencia permanece constante
- Para ciclos de trabajo reducidos aparece el modo de funcionamiento mixto (ZVS-ZCS)

# Análisis Estático

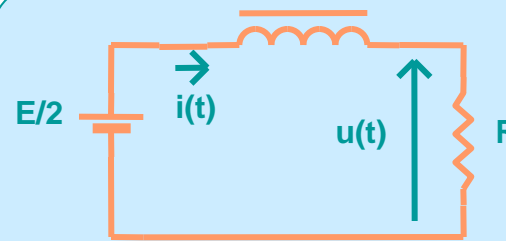
## Dos métodos de análisis:

- **Método 1:** [28]
  - ◆ Se plantean y resuelven las ecuaciones diferenciales en cada modo topológico de funcionamiento.
  - ◆ La solución de régimen permanente se obtiene aplicando las condiciones de contorno.
  - ◆ Válido para obtener respuestas transitorias
- **Método 2:** [18, 26, 27, 29-31]
  - ◆ Se emplea la teoría del desarrollo en serie de Fourier
  - ◆ Solución tan precisa como se deseé
  - ◆ En principio sólo es válido para obtener la solución de régimen permanente

# Método 1: Ejemplo



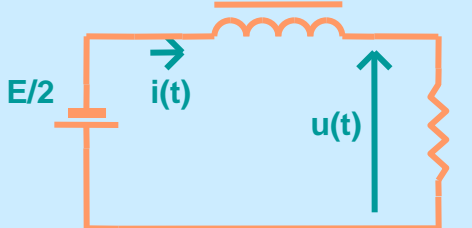
**Modo M0:  $0 < t < T/2$**



$$i(t) = L \frac{di(t)}{dt} + Ri(t) = \frac{E}{2}$$

$$i(t) = \frac{E}{2R} + \left( i(0) - \frac{E}{2R} \right) e^{-\frac{tR}{L}}$$

**Modo M1:  $T/2 < t < T$**

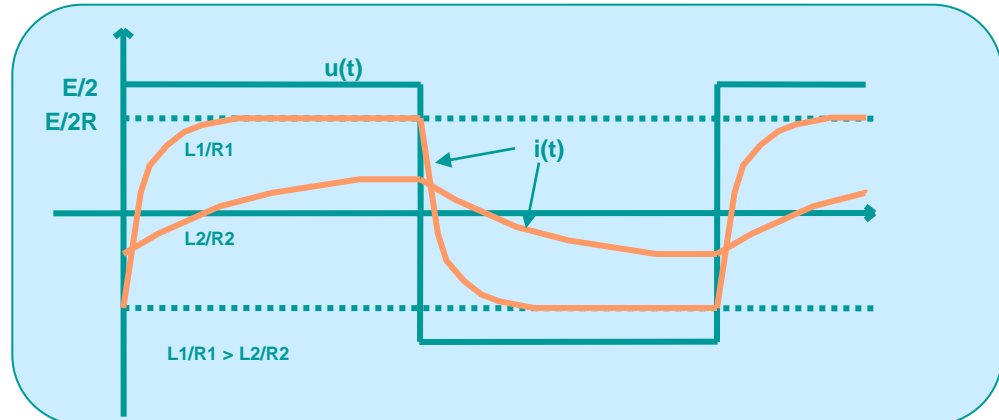


$$i(t) = L \frac{di(t)}{dt} + Ri(t) = -\frac{E}{2}$$

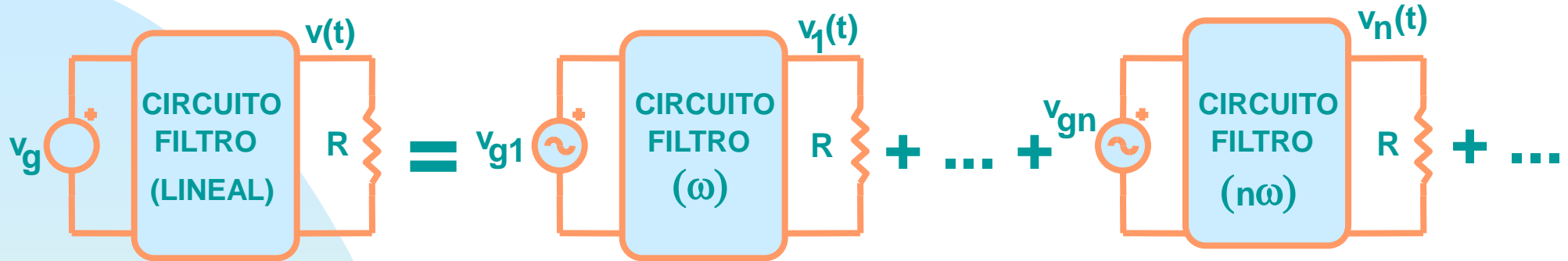
$$i(t) = -\frac{E}{2R} + \left( i(T/2) + \frac{E}{2R} \right) e^{-\frac{(t-T/2)R}{L}}$$

**Condición de Régimen Permanente:**  
 $i(0) = -i(T/2)$

$$i(0) = -i(T/2) = \frac{-E}{2R} \frac{1 - e^{-\frac{TR}{L}}}{1 + e^{-\frac{TR}{L}}}$$



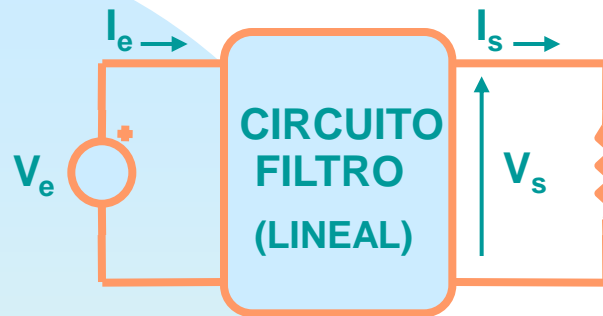
# Método 2: Desarrollo de Fourier



$$v(t) = v_1(t) + \dots + v_n(t) + \dots = \sum_1^{\infty} v_i(t)$$

- **Se obtiene el desarrollo en serie de Fourier de la onda alterna de entrada al circuito tanque**
- **Fácilmente implementable en ordenador**
- **No apto para circuitos no lineales**

# Estudio General [27]



Parámetros de Transmisión

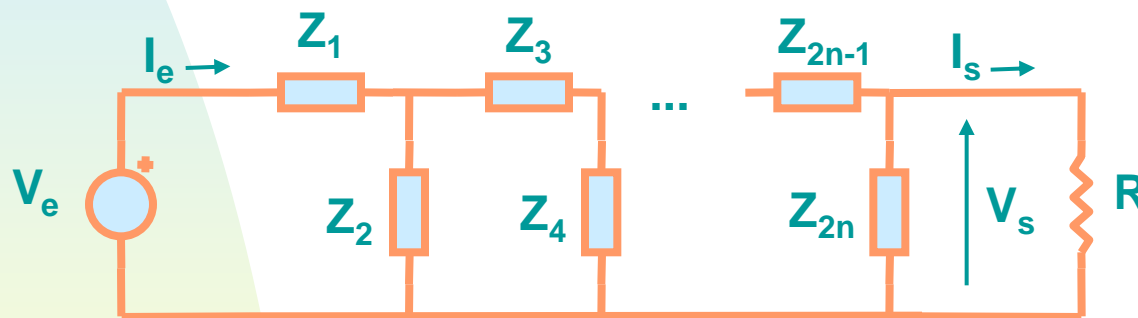
$$V_E = A V_s + B I_s$$

$$I_E = C V_s + D I_s$$

Carga Resistiva

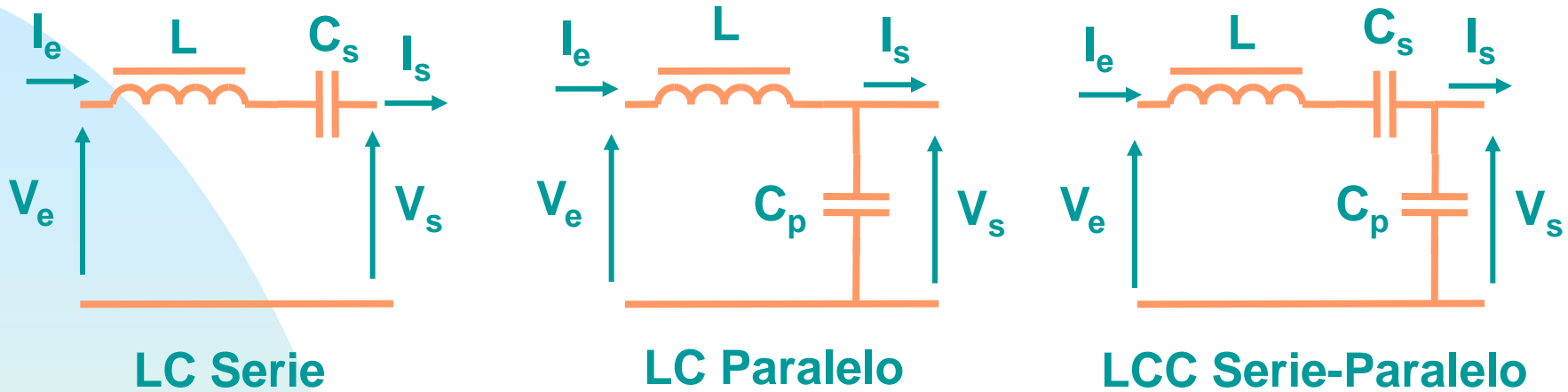
$$\frac{V_s}{V_E} = \frac{R}{A R + B}$$

$$\frac{I_E}{V_E} = \frac{R C + D}{R A + B}$$



$$[A] = \prod_{i=1}^n \begin{bmatrix} 1 & Z_{2i-1} \\ 0 & 1 \end{bmatrix} \begin{bmatrix} 1 & 0 \\ Z_{2i}^1 & 1 \end{bmatrix} = \prod_{i=1}^n \begin{bmatrix} 1 + Z_{2i-1} Z_{2i}^1 & Z_{2i-1} \\ Z_{2i}^1 & 1 \end{bmatrix}$$

# Análisis Comparativo



VALORES BASE

	$V_{\text{BASE}}$	$Z_{\text{BASE}}$	$\omega_{\text{BASE}}$
LC-SERIE	$V_e$	$\sqrt{L/C_s}$	$1/\sqrt{LC_s}$
LC-PARALELO	$V_e$	$\sqrt{L/C_p}$	$1/\sqrt{LC_p}$
LCC	$V_e$	$\sqrt{L(C_s + C_p)/(C_s C_p)}$	$1/\sqrt{L(C_s C_p)/(C_s + C_p)}$

NOMENCLATURA:

- $M_s = V_s/V_{\text{BASE}}$  Tensión de salida normalizada
- $J_e = I_e/I_{\text{BASE}}$  Corriente de entrada normalizada
- $\Omega = \omega/\omega_{\text{BASE}}$  Frecuencia angular normalizada
- $Q = R/Z_{\text{BASE}}$  Carga normalizada

# Resumen de Características

## LC SERIE

$$|M_s| = \frac{1}{\sqrt{1 + \frac{1}{Q_s^2} \left( \Omega - \frac{1}{\Omega} \right)^2}}$$

$$|J_e| = \frac{1}{\sqrt{Q_s^2 + \left( \Omega - \frac{1}{\Omega} \right)^2}}$$

$$\varphi_e = - \operatorname{arctg} \frac{\Omega - \frac{1}{\Omega}}{Q_s}$$

## LC PARALELO

$$|M_s| = \frac{1}{\sqrt{\frac{\Omega^2}{Q_p^2} + (\Omega^2 - 1)^2}}$$

$$|J_e| = \sqrt{\frac{1 + Q_p^2 \Omega^2}{\Omega^2 + Q_p^2 (\Omega^2 - 1)^2}}$$

$$\varphi_e = \operatorname{arctg} \frac{-1}{\Omega Q_p} - \operatorname{arctg} \left[ Q_p \left( \Omega - \frac{1}{\Omega} \right) \right]$$

## LCC SERIE-PARALELO

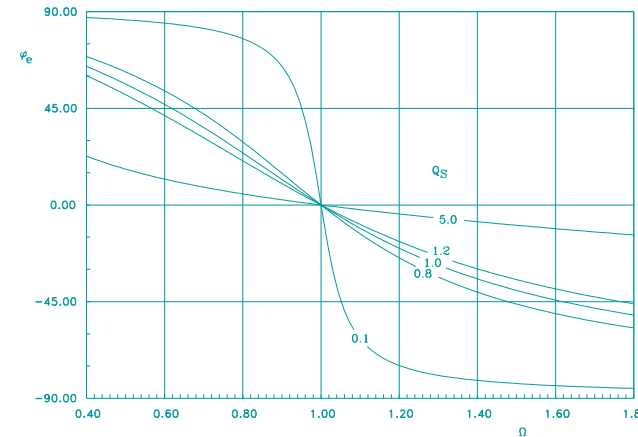
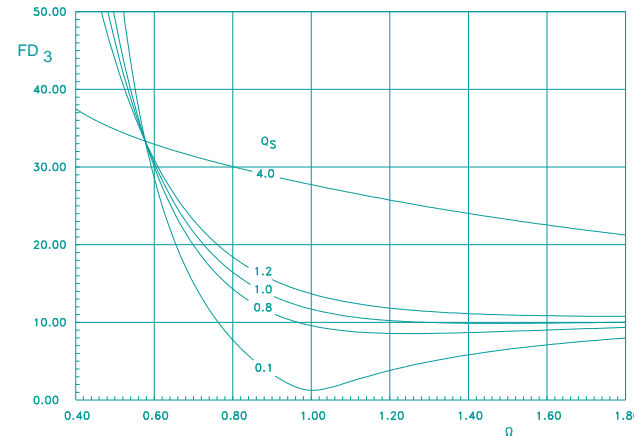
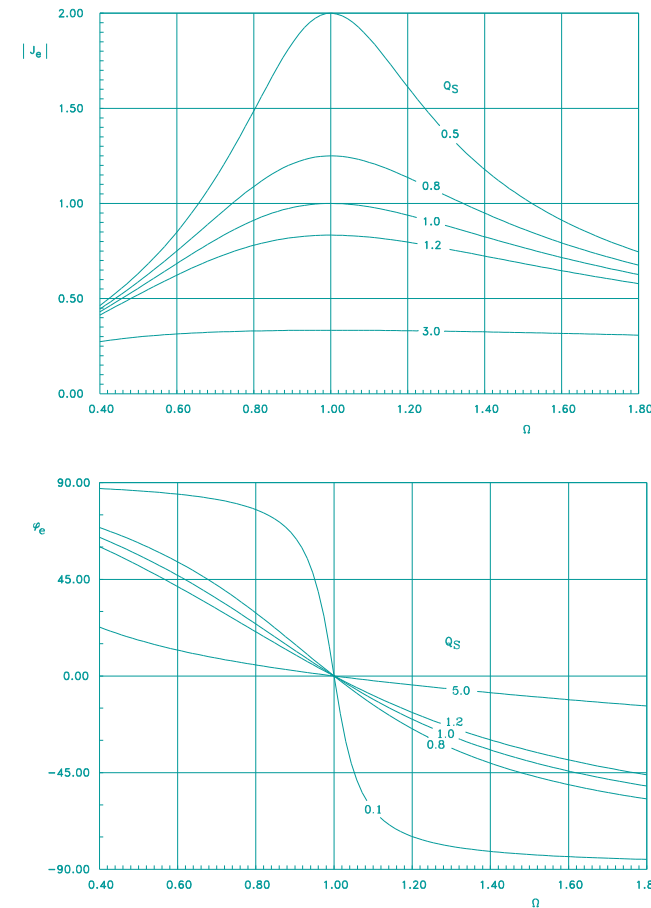
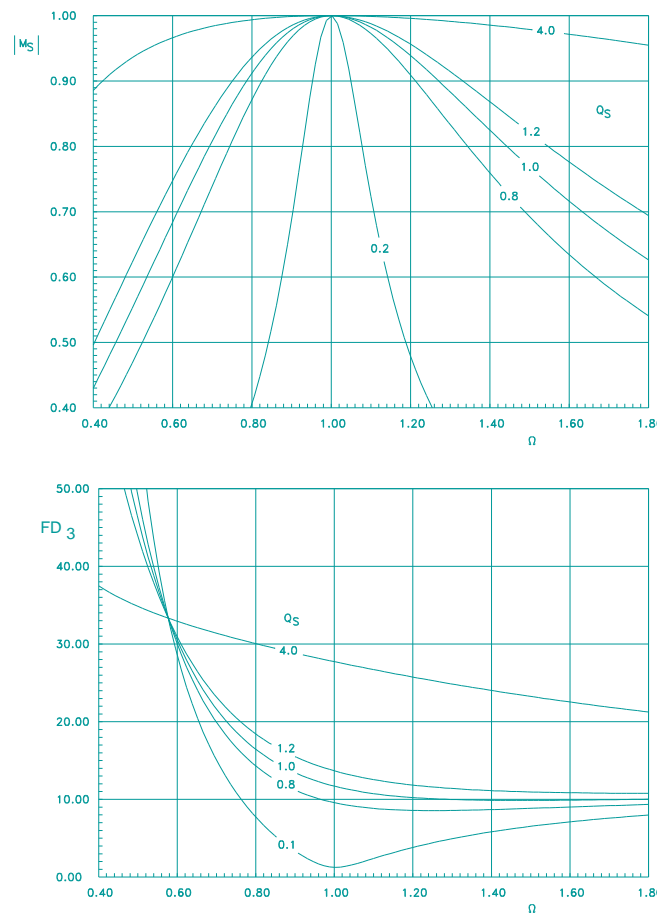
$$|M_s| = \frac{1}{\sqrt{\frac{1}{Q_{SP}^2} \left( \Omega - \frac{1-\alpha}{\Omega} \right)^2 + \frac{1}{\alpha^2} (\Omega^2 - 1)^2}}$$

$$|J_e| = \left[ \frac{1 + \left( \frac{Q_{SP} \Omega}{\alpha} \right)^2}{\left( \Omega - \frac{1-\alpha}{\Omega} \right)^2 + \left( \frac{Q_{SP}}{\alpha} (\Omega^2 - 1) \right)^2} \right]^{1/2}$$

$$\varphi_e = \begin{cases} \operatorname{arctg} \frac{-\alpha}{Q_{SP} \Omega} - \operatorname{arctg} \left( \frac{Q_{SP}}{\alpha} \frac{\Omega^2 - 1}{\Omega - \frac{1-\alpha}{\Omega}} \right) + 180^\circ & \text{si } \Omega < \Omega_c = \sqrt{1-\alpha} \\ \operatorname{arctg} \frac{-\alpha}{Q_{SP} \Omega} - \operatorname{arctg} \left( \frac{Q_{SP}}{\alpha} \frac{\Omega^2 - 1}{\Omega - \frac{1-\alpha}{\Omega}} \right) & \text{si } \Omega \geq \Omega_c = \sqrt{1-\alpha} \end{cases}$$

# Circuito LC Serie

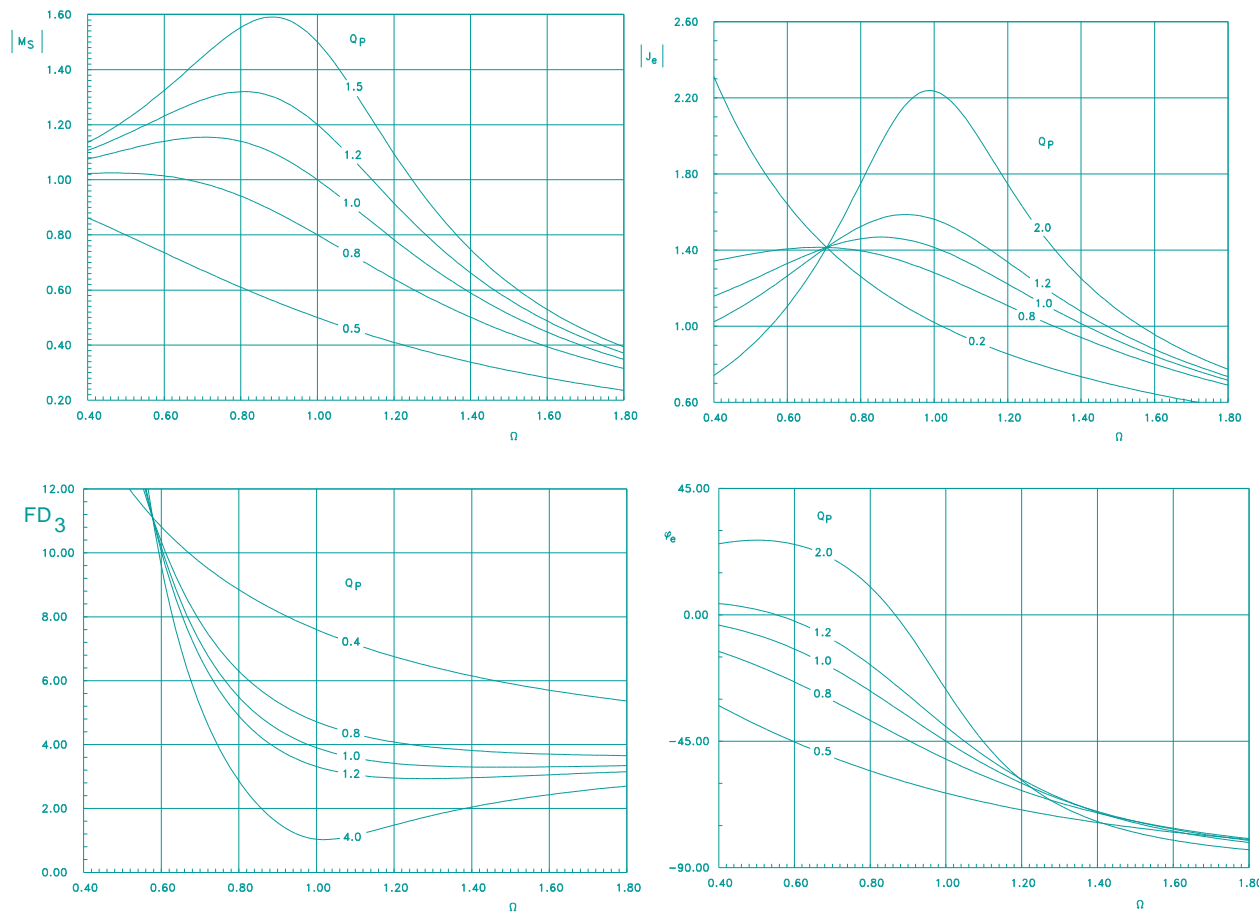
- Tensión de salida igual o inferior a la tensión de entrada
- Alta distorsión para valores elevados de la carga
- Corriente de entrada elevada en torno a la frecuencia de resonancia
- Modo ZVS por encima de resonancia y ZCS por debajo.



# Círculo LC Paralelo

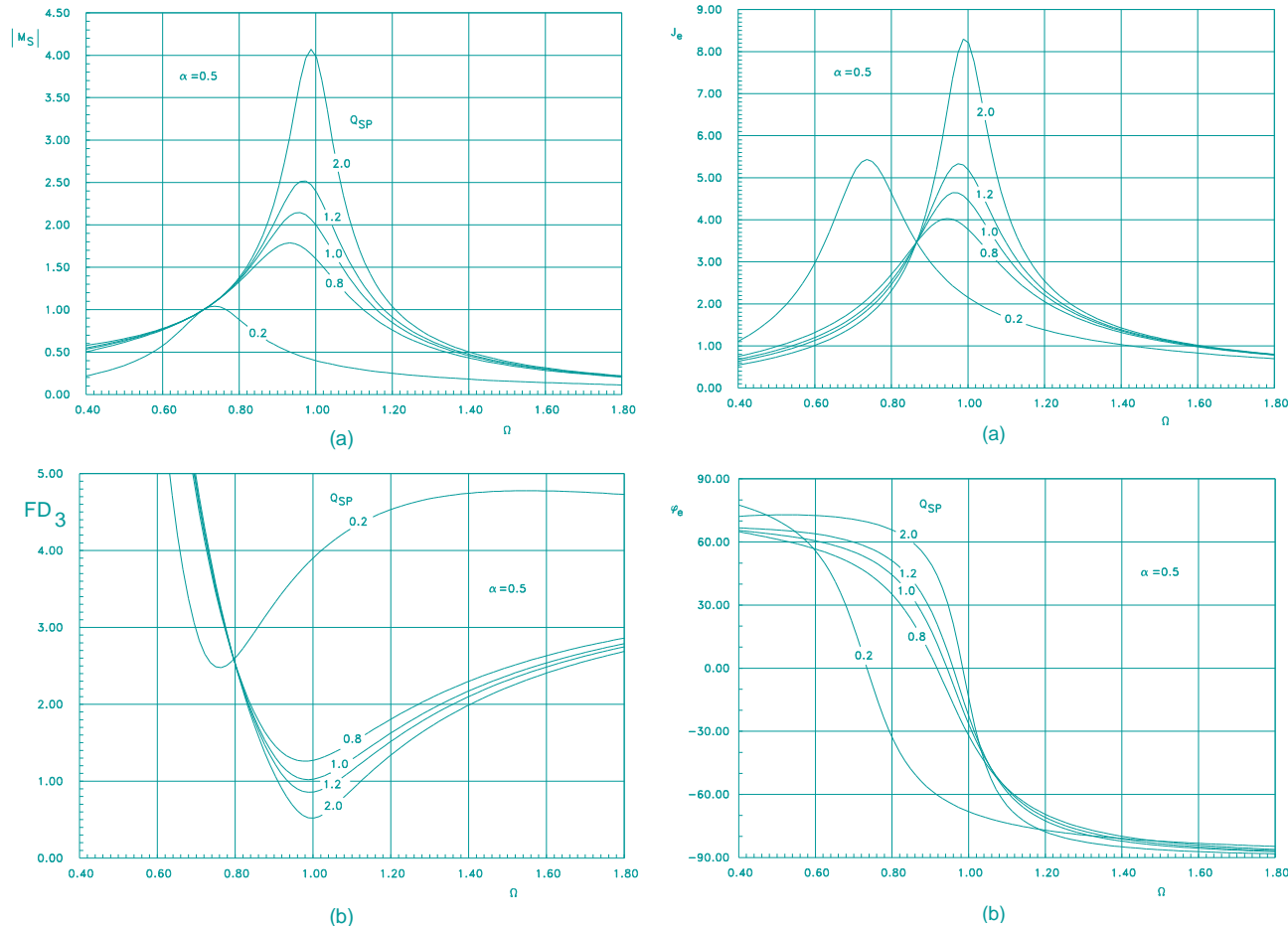
- **Ganancia de tensión superior a la unidad**
- **Comportamiento como fuente de corriente a la frecuencia de resonancia natural:**
  - ◆  $I = V_{\text{BASE}} / Z_{\text{BASE}}$
- **Baja distorsión en la tensión de salida**
- **Frontera entre modos ZVS y ZCS:**

$$\Omega / (\varphi_e = 0) = \sqrt{1 - \frac{1}{Q_P^2}}$$
  - ◆ Existe si  $Q_P > 1$
  - ◆ Si  $Q_P < 1$  Siempre ZVS



# Circuito LCC

- Comportamiento intermedio entre LC serie y LC paralelo
- Ganancia de tensión superior a la unidad
- Comportamiento como fuente de corriente a la frecuencia de resonancia natural:
  - ◆  $I = V_{\text{BASE}} / (\alpha Z_{\text{BASE}})$
- Baja distorsión en la tensión de salida



# Análisis Dinámico

## Método de Promediado Generalizado [40, 45]

- Útil para el modelado de todo tipo de convertidores de potencia.
- Permite el modelado de convertidores que presentan formas de onda con alto rizado o incluso alternas
- Se basa en el empleo del desarrollo en serie exponencial de Fourier.
- Se emplean como variables de estado los coeficientes del desarrollo en serie de Fourier.
- El orden del modelo y su precisión son proporcionales al número de armónicos del desarrollo en serie considerados.
- También se conoce como Método de Promediado Multifrecuencia [45].

# Desarrollo de Fourier (Repaso)

- Una onda  $x(t)$  que verifica las condiciones de Dirichlet puede expresarse de la forma siguiente:

$$x(t) = \sum_{k=-\infty}^{\infty} \langle x \rangle_k e^{jk\omega t}$$

Donde:

$$\langle x \rangle_k = \frac{1}{T} \int_0^T x(\tau) e^{-jk\omega\tau} d\tau$$

- Los coeficientes  $\langle x \rangle_k$  son complejos y están relacionados con los coeficientes de la serie trigonométrica de la forma siguiente:

$$x(t) = \frac{1}{2} a_0 + \sum_1^{\infty} a_k \cos k\omega t + b_k \sin k\omega t$$

$$a_n = 2 \operatorname{Re} \langle x \rangle_k \quad b_n = -2 \operatorname{Im} \langle x \rangle_k$$

$$\langle x \rangle_0 = \frac{1}{2} a_0 \quad \langle x \rangle_k = \frac{1}{2} (a_k - j b_k) \quad \langle x \rangle_{-k} = \frac{1}{2} (a_k + j b_k)$$

# Metodología de Estudio

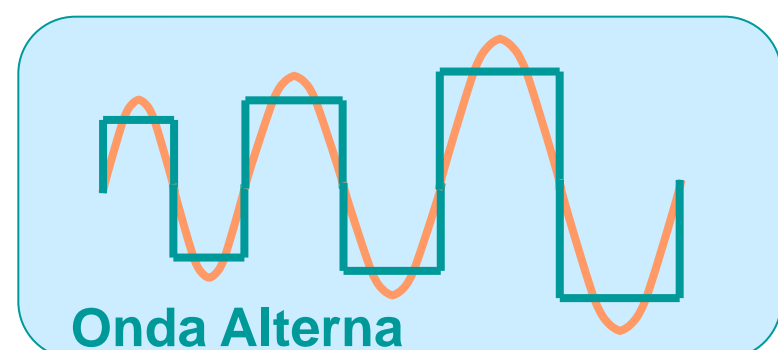
- El método se basa en aproximar la onda  $x(t)$  en el intervalo  $(t-T, t]$  por medio de la serie exponencial de Fourier:

$$x(t - T + \tau) = \sum_{k=-\infty}^{\infty} \langle x \rangle_k(t) e^{jk\omega(t-T+\tau)}$$

Donde:  $\left\{ \begin{array}{l} \langle x \rangle_k(t) = \frac{1}{T} \int_0^T x(t - T + \tau) e^{-jk\omega(t-T+\tau)} d\tau \\ \omega = \frac{2\pi}{T} \quad \tau \in (0, T] \end{array} \right.$



— Real  
— Aprox.



- Los coeficientes  $\langle x \rangle_k$  son las variables de estado del modelo
- A partir de ellos pueden obtenerse las evoluciones temporales
- El orden del modelo es igual al doble del número de coeficientes considerado, ya que éstos son complejos

# Operaciones Básicas

- **Suma:**  $\langle x(t) + y(t) \rangle_k = \langle x \rangle_k(t) + \langle y \rangle_k(t)$
- **Producto por un escalar:**  $\langle ax(t) \rangle_k = a \langle x \rangle_k(t)$
- **Convolución:**  $\langle x(t)y(t) \rangle_k = \sum_{i=-\infty}^{\infty} \langle x \rangle_{k-i}(t) \langle y \rangle_i(t)$
- **Diferenciación en el tiempo:**

$$\frac{d}{dt} \langle x \rangle_k(t) = \left\langle \frac{d}{dt} x \right\rangle_k(t) - jk\omega \langle x \rangle_k(t)$$

- Si  $\omega$  es variable esta fórmula es sólo una aproximación
- Buena aproximación si las variaciones de la frecuencia  $\omega$  son lentas

# Problema de Modelado:

- En muchos casos el modelado implica la obtención de los coeficientes de Fourier de una función escalar  $f$ :

$$\langle f(x_1, x_2, \dots, x_n) \rangle_k = h(\langle x_1 \rangle_k, \langle x_2 \rangle_k, \dots, \langle x_n \rangle_k)$$

- En la mayoría de los casos es imposible obtener una expresión explícita para estos coeficientes.
- Una aproximación es el empleo de la función descriptora [43, 44]
- Para funciones polinómicas pueden obtenerse empleando la propiedad de convolución.

# Aplicación al Modelado en el Espacio de Estados

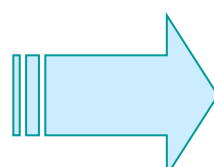
## Modelo de un convertidor:

$$\begin{cases} \frac{d}{dt} \bar{x}(t) = f\{\bar{x}(t), \bar{u}(t)\} \\ \bar{y}(t) = g\{\bar{x}(t), \bar{u}(t)\} \end{cases}$$

$\bar{x}(t)$  Vector de variables de estado  
 $\bar{u}(t)$  Vector de excitación  
 $\bar{y}(t)$  Vector de variables de salida

## Aplicación del método de Fourier:

$$\begin{cases} \left\langle \frac{d}{dt} \bar{x}(t) \right\rangle_k = \langle f\{\bar{x}(t), \bar{u}(t)\} \rangle_k \\ \langle \bar{y}(t) \rangle_k = \langle g\{\bar{x}(t), \bar{u}(t)\} \rangle_k \end{cases}$$



$$\begin{cases} \frac{d}{dt} \langle \bar{x} \rangle_k = -jk\omega \langle \bar{x} \rangle_k + \langle f(\bar{x}, \bar{u}) \rangle_k \\ \langle \bar{y}(t) \rangle_k = \langle g\{\bar{x}(t), \bar{u}(t)\} \rangle_k \end{cases}$$

- Simplificación: En algunos casos pueden conocerse directamente las variables de salida a partir de las nuevas variables de estado:

$$\bar{y}(t) = h\langle \bar{x} \rangle_k(t), \langle \bar{u} \rangle_k(t)$$

# Caso Particular: Sistemas Lineales Invariantes

**Modelo del convertidor:**

$$\frac{d}{dt} \bar{x}(t) = A \bar{x}(t) + B u(t)$$

**Aplicación del método de Fourier:**

$$\left\langle \frac{d}{dt} \bar{x}(t) \right\rangle_k = A \langle \bar{x}(t) \rangle_k + B \langle u(t) \rangle_k \quad \Rightarrow$$

Diferenciación  
en el tiempo

$$\frac{d}{dt} \langle \bar{x} \rangle_k = -jk\omega \langle \bar{x} \rangle_k + A \langle \bar{x} \rangle_k + B \langle u \rangle_k$$

**Modelo en el Espacio de Estado:**

$$\frac{d}{dt} \langle \bar{x} \rangle_k = \underbrace{(-jk\omega I + A)}_{\text{Nueva Matriz de Estado}} \langle \bar{x} \rangle_k + B \langle u \rangle_k$$

Nueva Matriz de Estado

# Régimen Permanente

Condición de Reg. Permanente:  $\frac{d}{dt} \langle \bar{x} \rangle_k = \bar{0}$

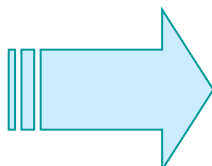
Aplicando la condición al modelo, se obtiene:

$$\langle \bar{x}_0 \rangle_k = (jk\omega_0 I - A)^{-1} B \langle u_0 \rangle_k$$

## Modelado Dinámico

Se introducen perturbaciones en el modelo:

$$\begin{cases} \omega = \omega_0 + \hat{\omega} \\ \langle u \rangle_k = \langle u_0 \rangle_k \end{cases}$$



$$\langle \bar{x} \rangle_k = \langle \bar{x}_0 \rangle_k + \langle \hat{x} \rangle_k$$

Las perturbaciones provocan variaciones en las vbles. de estado

# Modelado Dinámico (Cont.)

Se introducen las perturbaciones en el modelo:

$$\frac{d}{dt} \left( \langle \bar{x}_0 \rangle_k + \langle \hat{\bar{x}} \rangle_k \right) = (-jk(\omega_0 + \hat{\omega})I + A) \left( \langle \bar{x}_0 \rangle_k + \langle \hat{\bar{x}} \rangle_k \right) + B \langle u_0 \rangle_k$$



Condición de  
reg. permanente

$$\frac{d}{dt} \langle \hat{\bar{x}} \rangle_k = (-jk\omega_0 I + A) \langle \hat{\bar{x}} \rangle_k - jk\hat{\omega}I \langle \bar{x}_0 \rangle_k$$

Se aplica la transformada de Laplace:

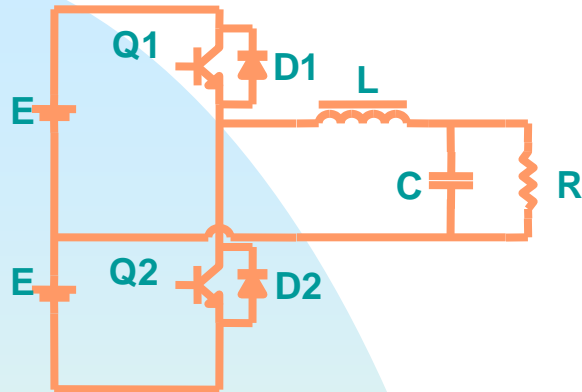
$$s \langle \bar{x} \rangle_k(s) = (-jk\omega_0 I + A) \langle \bar{x} \rangle_k(s) - jk\omega(s)I \langle \bar{x}_0 \rangle_k$$



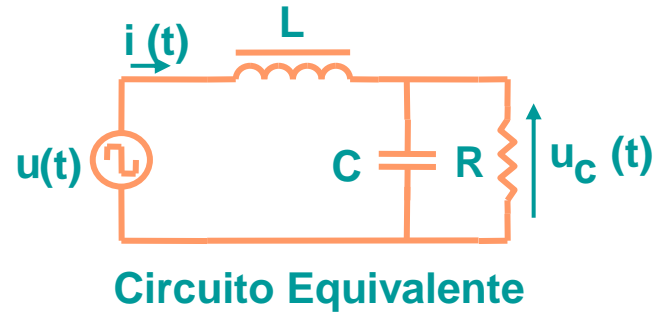
$$\frac{\langle \bar{x} \rangle_k(s)}{\omega(s)} = -[(s + jk\omega_0)I - A]^{-1} jkI \langle \bar{x}_0 \rangle_k$$

- De forma análoga pueden obtenerse otras funciones de transferencia.

# Ejemplo: Inversor LC Paralelo



Modelo Exacto



Modelo Aproximado  
(1<sup>er</sup> Armónico)

Vector de Estado:  $\bar{x}(t) = [i(t), u_c(t)]^\top$

Excitación:  $u(t) = E \operatorname{sgn}(\operatorname{sen}\omega t)$

$$\frac{d}{dt} i(t) = -\frac{1}{L} u_c(t) + \frac{1}{L} u(t)$$

$$\frac{d}{dt} u_c(t) = \frac{1}{C} i(t) - \frac{1}{RC} u_c(t)$$

$$y_1(t) = \operatorname{evol}(i(t)) \quad y_2(t) = \operatorname{evol}(u_c(t))$$

Vector de Estado:  $\langle \bar{x} \rangle_1 = [\langle i \rangle_1, \langle u_c \rangle_1]^\top$

$$\text{Excitación: } \langle u \rangle_1 = -j \frac{2E}{\pi}$$

$$\frac{d}{dt} \langle i \rangle_1 = -j\omega \langle i \rangle_1 - \frac{1}{L} \langle u_c \rangle_1 - j \frac{2E}{\pi L}$$

$$\frac{d}{dt} \langle u_c \rangle_1 = -\frac{1}{C} \langle i \rangle_1 + \left( \frac{1}{RC} - j\omega \right) \langle u_c \rangle_1$$

$$y_1(t) = 2 \|\langle i \rangle_1(t)\| \quad y_2(t) = 2 \|\langle u_c \rangle_1(t)\|$$

# Modelo en el Plano Real

También puede obtenerse el modelo en el plano real:

$$\langle \mathbf{i} \rangle_1(t) = x_1(t) + jx_2(t)$$



$$\langle \mathbf{u}_c \rangle_1(t) = x_3(t) + jx_4(t)$$

$$\frac{d}{dt} \begin{bmatrix} x_1 \\ x_2 \\ x_3 \\ x_4 \end{bmatrix} = \begin{bmatrix} 0 & \omega & -1/L & 0 \\ -\omega & 0 & 0 & -1/L \\ 1/C & 0 & -1/RC & \omega \\ 0 & 1/C & -\omega & -1/RC \end{bmatrix} \begin{bmatrix} x_1 \\ x_2 \\ x_3 \\ x_4 \end{bmatrix} + \begin{bmatrix} 0 \\ -2/\pi L \\ 0 \\ 0 \end{bmatrix} E$$

$$y_1 = 2\sqrt{x_1^2 + x_2^2}$$

$$y_2 = 2\sqrt{x_3^2 + x_4^2}$$

Modelo de Gran Señal en el Plano Real

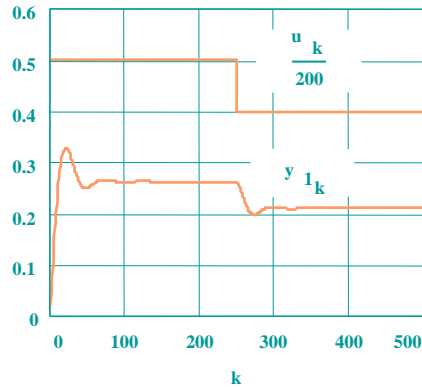
Ejemplo concreto:

- Frecuencia de conmutación: 20 kHz
- Inductancia: 4.15 mH
- Condensador: 15 nF
- Carga: 212 Ohmios

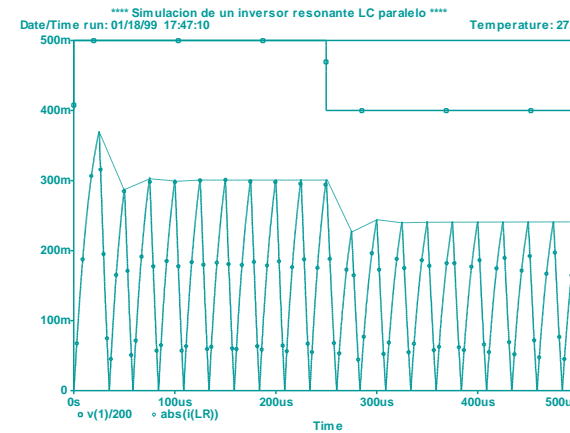
# Modelo de Gran Señal: Resultados

Corriente:

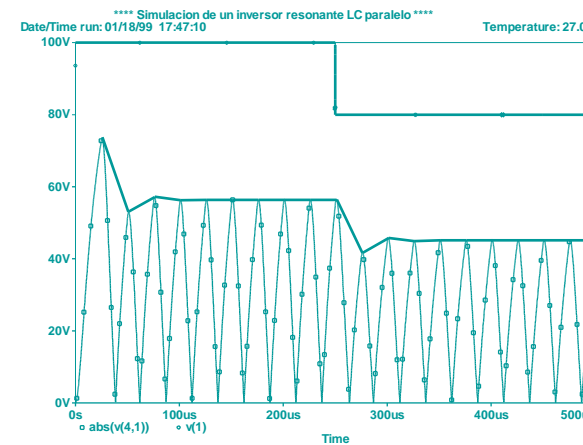
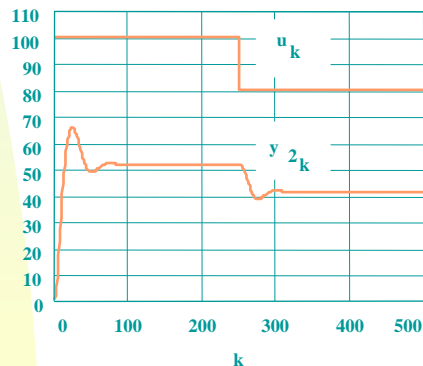
MathCAD:



PSpice:



Tensión:



# Régimen Permanente

$$\langle \bar{\mathbf{x}}_0 \rangle_k = (\mathbf{j}\mathbf{k}\omega_0 \mathbf{I} - \mathbf{A})^{-1} \mathbf{B} \langle \mathbf{u}_0 \rangle_k \quad \Rightarrow \quad \begin{bmatrix} \langle i_0 \rangle_1 \\ \langle u_{c0} \rangle_1 \end{bmatrix} = \begin{bmatrix} j\omega_0 & 1/L \\ -1/C & j\omega_0 + 1/RC \end{bmatrix}^{-1} \begin{bmatrix} 1/L \\ 0 \end{bmatrix} \langle \mathbf{u}_0 \rangle_1$$

Resolviendo: 
$$\left\{ \begin{array}{l} \langle i_0 \rangle_1 = \frac{2E}{\pi} \frac{1 + j\omega_0 RC}{-\omega_0 L + j(R - \omega_0^2 RLC)} \\ \langle u_{c0} \rangle_1 = \frac{j2E/\pi}{\omega_0^2 LC - j\frac{\omega_0 L}{R} - 1} \end{array} \right.$$

- Teniendo en cuenta que:  $I_0 = 2j\langle i_0 \rangle_1$     $U_{c0} = 2j\langle u_{c0} \rangle_1$
- Se obtienen las evoluciones senoidales de corriente y tensión:

$$I_0 = \frac{4E}{\pi} \frac{1 + j\omega_0 RC}{R(1 - \omega_0^2 LC) + j\omega_0 L} \quad U_0 = \frac{4E}{\pi} \frac{1}{(1 - \omega_0^2 LC) + j\frac{\omega_0 L}{R}}$$

- Que lógicamente coinciden con las soluciones obtenidas mediante la aproximación con el armónico fundamental.

# Modelo Dinámico

Ejemplo: Obtención de la función  $G_{ue}(s) = \frac{U_{Cpico}(s)}{E(s)}$

Perturbación:  $E = E_0 + \hat{E} \rightarrow x_i = x_{i0} + \hat{x}_i \quad (i = 1..4)$

Introduciendo la perturbación y linealizando:

$$\frac{d}{dt} \begin{bmatrix} \hat{x}_1 \\ \hat{x}_2 \\ \hat{x}_3 \\ \hat{x}_4 \end{bmatrix} = \begin{bmatrix} 0 & \omega_0 & -1/L & 0 \\ -\omega_0 & 0 & 0 & -1/L \\ 1/C & 0 & -1/RC & \omega_0 \\ 0 & 1/C & -\omega_0 & -1/RC \end{bmatrix} \begin{bmatrix} \hat{x}_1 \\ \hat{x}_2 \\ \hat{x}_3 \\ \hat{x}_4 \end{bmatrix} + \begin{bmatrix} 0 \\ -2/\pi L \\ 0 \\ 0 \end{bmatrix} \hat{E}$$

$$\hat{y}_1 = \frac{2}{\sqrt{x_{10}^2 + x_{20}^2}} (x_{10} \hat{x}_1 + x_{20} \hat{x}_2)$$

$$\hat{y}_2 = \frac{2}{\sqrt{x_{30}^2 + x_{40}^2}} (x_{30} \hat{x}_3 + x_{40} \hat{x}_4)$$

# Modelo Dinámico (Cont.)

Aplicando la transformada de Laplace:

$$\begin{bmatrix} x_1(s) \\ x_2(s) \\ x_3(s) \\ x_4(s) \end{bmatrix} = \begin{bmatrix} s & -\omega_0 & 1/L & 0 \\ \omega_0 & s & 0 & 1/L \\ -1/C & 0 & s + 1/RC & -\omega_0 \\ 0 & -1/C & \omega_0 & s + 1/RC \end{bmatrix}^{-1} \begin{bmatrix} 0 \\ -2/\pi L \\ 0 \\ 0 \end{bmatrix} E(s)$$

$$y_1(s) = \frac{2}{\|\langle i_{10} \rangle\|} [x_{10}x_1(s) + x_{20}x_2(s)]$$

$$y_2(s) = \frac{2}{\|\langle u_c \rangle_{10}\|} [x_{30}x_3(s) + x_{40}x_4(s)]$$

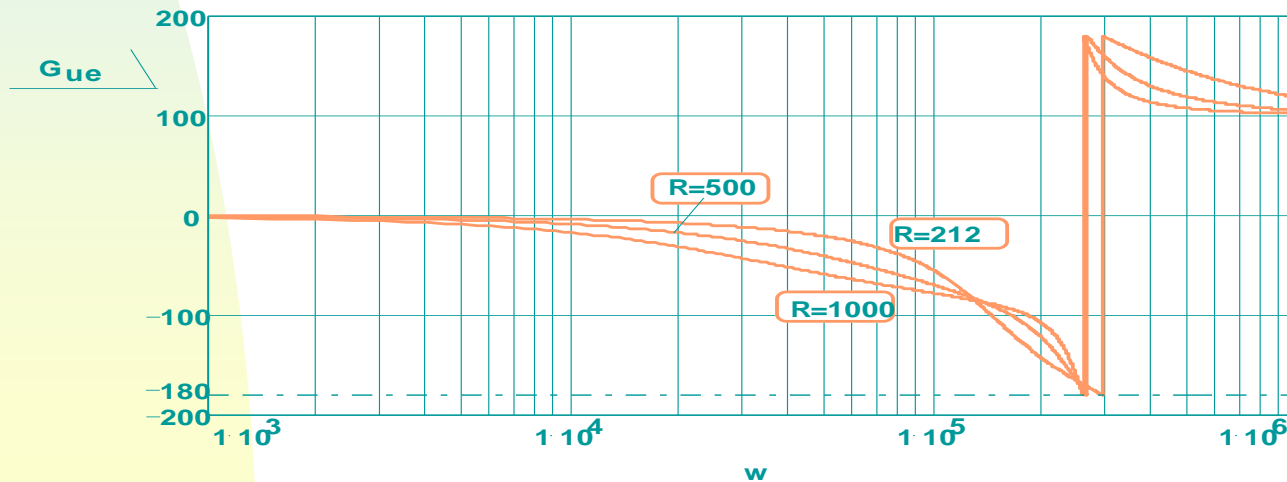
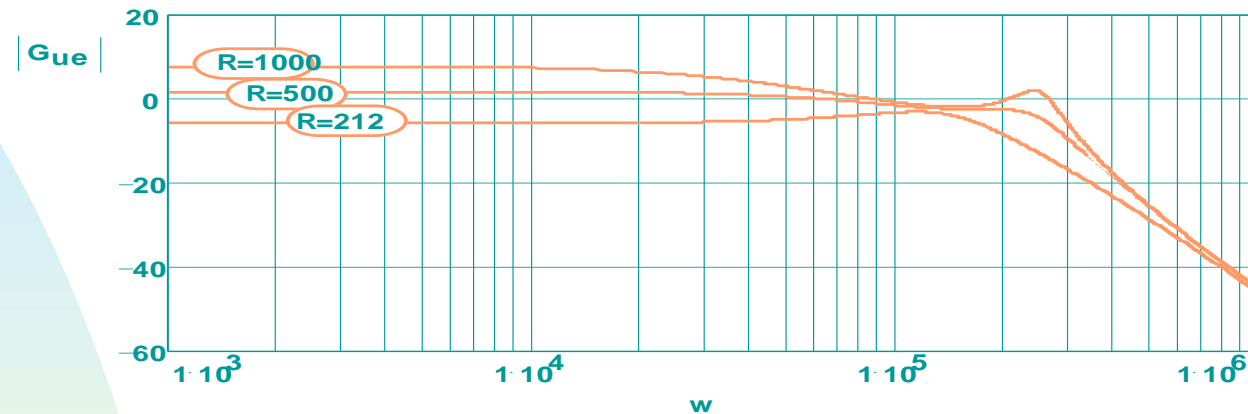
Modelo  
Dinámico de  
Pequeña  
Señal

Finalmente habría que despejar:  $y_2(s)/E(s)$

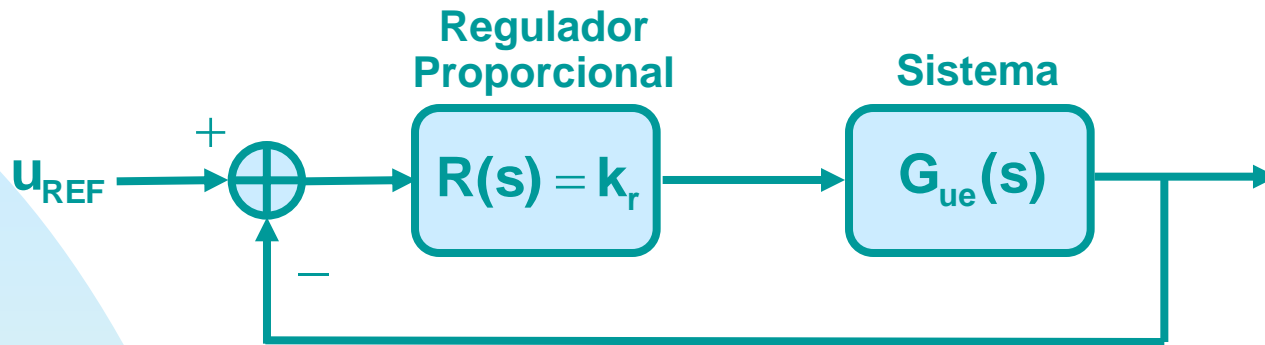
- La obtención de una solución explícita resulta bastante tedioso.
- Fácilmente implementable en programas de ordenador  
(ver Apéndice B)

# Respuesta Dinámica

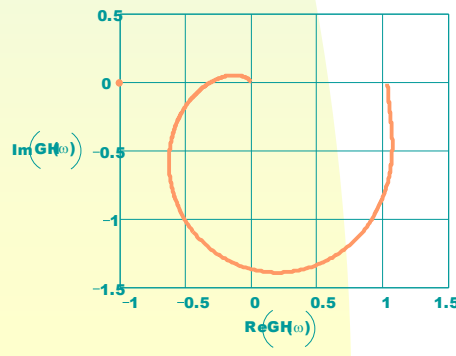
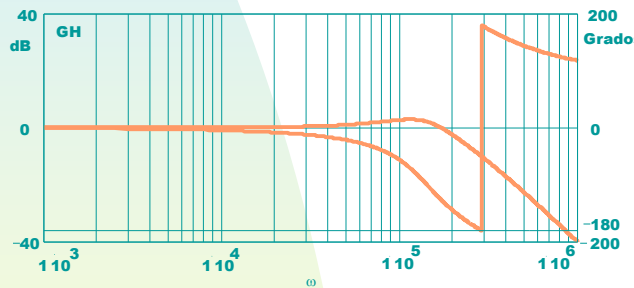
$$G_{ue}(s) = \frac{U_{Cpico}(s)}{E(s)}$$



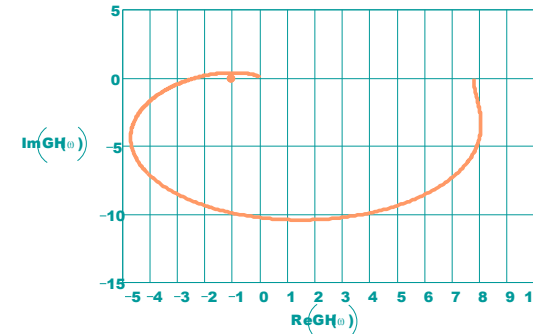
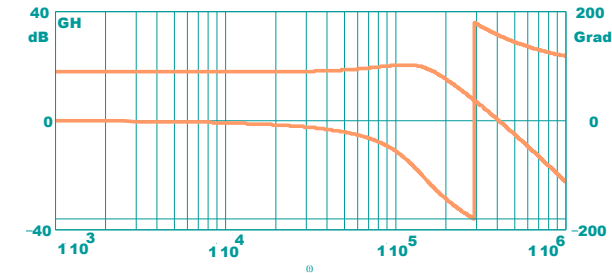
# Operación en Bucle Cerrado



$K_r=2 \longrightarrow$  Sistema Estable

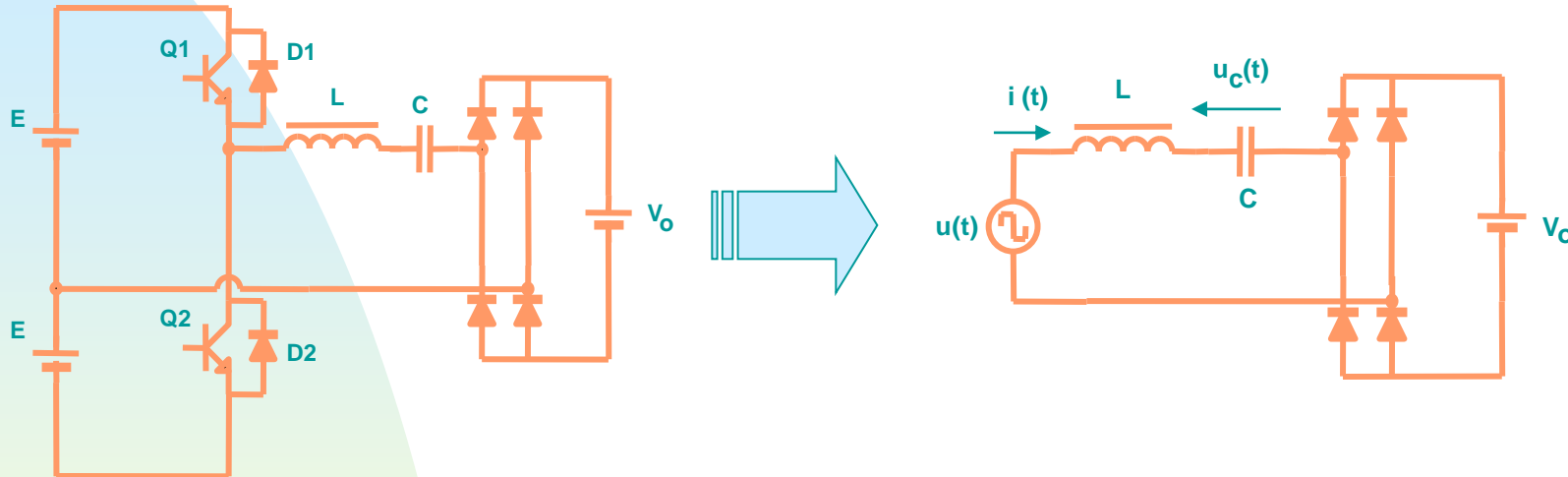


$K_r=15 \longrightarrow$  Sistema Inestable

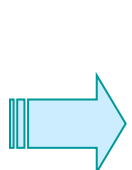


# Propuesta de Ejercicio

## Modelado de un convertidor CC-CC Resonante



$$\begin{cases} \frac{d}{dt}i = \frac{1}{L} \{-u_c - v_o \operatorname{sgn}(i) + E \operatorname{sgn}(\sin \omega t)\} \\ \frac{d}{dt}u_c = \frac{1}{C}i \end{cases}$$



$$\begin{cases} \frac{d}{dt}\langle i \rangle_1 = -j\omega \langle i \rangle_1 + \frac{1}{L} \left\{ -\langle u_c \rangle_1 - v_o \frac{2}{\pi} e^{\varphi_i} - E j \frac{2}{\pi} \right\} \\ \frac{d}{dt}\langle u_c \rangle_1 = -j\omega \langle u_c \rangle_1 + \frac{1}{C} \langle i \rangle_1 \end{cases}$$

# Resumen y Conclusiones

- **Se ha presentado la estructura básica de un inversor resonante y los parámetros que lo caracterizan**
- **Estudio de la metodología de análisis estático de inversores resonantes**
- **Se ha realizado un análisis comparativo de tres circuitos resonantes típicos**
- **Metodología general de análisis estático y dinámico de convertidores de potencia, fácilmente aplicable a inversores resonantes**
- **Se han realizado ejemplos de análisis dinámico de inversores resonantes**

# Actividades Complementarias

- **Simulación con PSpice de diferentes topologías de inversores resonantes.**
- **Obtención de características estáticas de inversores con otros circuitos resonantes diferentes a los expuestos.**
- **Diseño de un inversor resonante para una aplicación concreta.**
- **Montaje y ensayo de un inversor en el laboratorio. Por ejemplo para alimentación de una lámpara fluorescente.**
- **Obtención de otras funciones de transferencia para el inversor resonante LC paralelo.**
- **Realización de simulaciones con PSpice del inversor LC en bucle cerrado con diferentes reguladores y comparación con resultados teóricos.**
- **Modelado de otros convertidores (CC-CC PWM, CC-CC resonantes, etc.)**

# Bibliografía

## LIBROS

- [1] J. A. Gualda, S. Martínez, P. M. Martínez; "*ELECTRÓNICA INDUSTRIAL: TÉCNICAS DE POTENCIA*", 2<sup>a</sup> edición, Marcombo, 1992.
- [2] N. Mohan, T.M. Undeland, W. P. Robbins; "*POWER ELECTRONICS. CONVERTERS, APPLICATIONS AND DESIGN*". John Wiley and Sons, Inc. 2<sup>a</sup> Edición. 1995.
- [3] M. H. Rashid; "*POWER ELECTRONICS. CIRCUITS, DEVICES AND APPLICATIONS*". Prentice Hall. 2<sup>a</sup> Edición. 1993.
- [4] B. W. Williams; "*POWER ELECTRONICS. DEVICES, DRIVERS APPLICATIONS AND PASSIVE COMPONENTS*". Macmillan. 2<sup>a</sup> Edición. 1992.
- [5] J. M. Alonso; "*ALIMENTACIÓN DE LÁMPARAS DE ALTA INTENSIDAD DE DESCARGA: APORTACIONES EN LA OPTIMIZACIÓN DEL SISTEMA ELECTRÓNICO*", Tesis Doctoral, Universidad de Oviedo. 1994.

## ARTÍCULOS

### Procesos electrostáticos

- [6] H. Fujita, S. Ogasawara, H. Akagi; *"An approach to a broad range of power control in voltage-source series-resonant inverters for corona discharge treatment - pulse-density-modulation"*, IEEE PESC'97 conf. proc., pp. 1000-1006.
- [7] S. Wang, M. Nakaoka, Y. Konishi; *"DSP-based PDM & PWM type voltage-fed load-resonant inverter with high-voltage transformer for silent discharge ozonizer"*, IEEE PESC'98 conf. proc., pp. 159-164.
- [8] J. Sun, M. Nakaoka, H. Takano; *"High-frequency high-voltage transformer parasitic dc-dc converter and its repetitive learning control system"*, IEEE ISIE'97, pp. 353-358, Portugal, 1997.

### Soldadura eléctrica

- [9] P.C. Theron, J.A. Ferreira, J.C. Fetter, H.W.E. Koertzen; *"Welding power supplies using the partial series resonant converter"*, IEEE IECON'93 conf. proc., pp. 1319-1324.
- [10] L. Malesani et al; *"Electronic welder with high-frequency resonant inverter"*, IEEE IAS'93 conf. proc., pp. 1073-1080.

### Cargas de ultrasonidos

- [11] I.S. Cha et al; *"A study on the design and characteristics of the high frequency resonant inverter for ultrasonic motor drive using fuzzy controller"*, IEEE IECON'95, pp. 680-684.
- [12] P. Fabijanski, L. Palczynski; *"Series resonant converter with piezoelectric ceramic transducer for ultrasonic cleaning system"*, EPE'91 conf. proc., pp. 4-272/4-277, Florencia, 1991.
- [13] U. Schaff, H. van der Broeck; *"Piezoelectric motor fed by a PLL-controlled series resonant converter"*, EPE'95 conf. proc., pp. 3.845-3.850, Sevilla, 1995.

### Calentamiento por inducción

- [14] E.J. Dede, J.M. Espi, J. Jordan, A. Ferreres, S. K. Panda; *"Design considerations for transformerless series resonant inverters for induction heating"*, PEDS'97 conf. proc. pp. 334-339.
- [15] I. Khan, J. Tapson, I. de Vries; *"An induction furnace employing a 100 kHz MOSFET full-bridge current-source load-resonant inverter"*, IEEE ISIE'98 conf. proc., pp. 530-534.

### Convertidores CC-CC resonantes

- [17] S. Kubota, Y. Hatanaka; *"A novel ZCS high frequency power supply for induction heating"*, IEEE PESC'98 conf. proc., pp. 165-171.
  - [18] R. L. Steigerwald; *"A comparison of half-bridge resonant converter topologies"*, IEEE Trans. on Power Electronics, Vol. 3, No. 2, pp. 174-182, abril 1988.
  - [19] R. L. Steigerwald; *"High-frequency resonant transistor dc-dc converters"*, IEEE Trans. on Industrial Electronics, vol. 31, No. 2, pp. 181-191, mayo 1984.
  - [20] F.S. Tsai, P. Materu, F.C. Lee; *"Constant-frequency clamped-mode resonant converters"*, IEEE Trans. on Power Electronics, Vol. 3, No. 4, pp. 460-473, octubre 1988.
  - [21] D. Czarkowski, M.K. Kazimierczuk; *"Phase-controlled series-parallel resonant converter"*, IEEE Trans. on Power Electronics, vol. 8, No. 3, pp. 309-319, julio 1993.
  - [22] J. A. Sabaté, R. Gean, M. M. Jovanovic, F. C. Lee; *"LCC resonant inverter with fixed-frequency clamped-mode operation"*, VPEC seminar proceedings, pp. 131-141, 1991.
  - [23] J. A. Sabaté, M.M. Jovanovic, F.C. Lee, R.T. Gean; *"Analysis and Design-Optimization of LCC resonant inverter for high-frequency AC distributed power system"*, IEEE Trans. on Industrial Electronics, vol. 42, No. 1, pp. 63-71, Febrero 1995.
  - [24] M. Fernández, C. Hernández; *"Análisis y diseño de los inversores resonantes"*, Revista Española de Electrónica, diciembre 1996, pp. 66-71.
- ### Alimentación de lámparas de descarga
- [25] M. K. Kazimierczuk, W. Szaraniec; *"Electronic ballasts for fluorescent lamps"*, IEEE transac. on Power Electronics, vol. 8, n°4, pp. 386-395, Octubre 1993.
  - [26] J. M. Alonso, M. Rico, C. Blanco, E. López; *"Inversores resonantes en iluminación. Topologías y modos de funcionamiento"*, Mundo Electrónico, No. 263, pp. 47-53, Enero 1996.
  - [27] J. M. Alonso, M. Rico, C. Blanco, E. López; *"Inversores resonantes en iluminación. Estudio y selección"*, Mundo Electrónico, No. 264, pp. 28-33, Febrero 1996.
  - [28] J. M. Alonso, C. Blanco, E. López, A. J. Calleja, M. Rico; *"Analysis, design, and optimization of the LCC resonant inverter as a high-intensity discharge lamp ballast"*, IEEE Trans. on Power Electronics, Vol. 13, No. 3, pp. 573-585, mayo 1998.

- [29] D. Tadesse, F.P. Dawson, S.B. Dewan; *"A comparison of power circuit topologies and control techniques for a high frequency ballast"*, IEEE IAS'93 conf. proc., pp. 2341-2347.
- [30] R.M. Nelms, T.D. Jones, M.C. Cosby; *"A comparison of resonant inverter topologies for HPS lamp ballasts"*, IEEE IAS'93 conf. proc., pp. 2317-2322.
- [31] A.K.S. Bhat, C. Wei-qun; *"Analysis, selection, and design of resonant inverters for electronic ballasts"*, IEEE PESC'94 conf. proc., pp. 796-804.
- [32] B.K. Lee, B.S. Suh, D.S. Hyun; *Design consideration for the improved class-D inverter topology*", IEEE Trans. on Industrial Electronics, Vol. 45, No. 2, pp. 217-227, Abril 1998.
- [33] M.C. Cosby, R.M. Nelms; *"A resonant inverter for electronic ballast applications"*, IEEE Trans. on Industrial Electronics, Vol. 41, No. 4, pp. 418-425, Agosto 1994.
- [34] Y. L. Lin, A.F. Witulski; *"A unique analysis and design of ZCS resonant inverters"*, IEEE APEC'97 conf. proc., pp. 1008-1013.
- [35] U. Mader; *"Steady-state analysis of a voltage-fed inverter with second-order network and fluorescent lamp load"*, IEEE APEC'96 conf. proc., pp. 609-615.
- [36] K. Heumann, J. Ying; *"Small loss series resonant inverter"*, EPE Journal, Vol. 4, No. 1, pp. 21-28, Marzo 1994.
- [37] G.C. Hsieh, C.H. Lin, J.M. Li, Y.C. Hsu; *"A study of series-resonant DC/AC inverter"*, IEEE PESC'95 conf. proc., pp. 493-499.
- [38] H. Kakehashi, T. Hidaka et al; *"Electronic ballast using piezoelectric transformers for fluorescent lamps"*, IEEE PESC'98 conf. proc., pp. 29-35, Japón, 1998.

#### **Modelado dinámico**

- [39] R. D. Middlebrook, S. Cuk; *"A general unified approach to modeling switching power converter stages"*, IEEE PESC'76 conf. proc., pp. 18-34, 1976.
- [40] S.R. Sanders, J. M. Noworolski, X.Z. Liu, G. Verghese; *"Generalized averaging method for power conversion circuits"*, IEEE Trans. on Power Electronics, Vol. 6, No. 2, pp. 251-259, Abril 1991.
- [41] R. M. Bass, J. Sun; *"Large-signal averaging methods under large ripple conditions"*, IEEE PESC'98 conf. proc., pp. 630-632.
- [42] J. Sun et al; *"Modeling of PWM converters in discontinuous conduction mode - A reexamination"*, IEEE PESC'98 conf. proc., pp. 615-622.
- [43] E.X. Yang, F.C. Lee, M.M. Jovanovic; *"Extended describing function technique applied to the modeling of resonant converters"*, VPEC'91 proc., pp. 179-191, 1991.